

Vorlesung Algorithmische Geometrie

Konvexe Hülle in \mathbb{R}^3

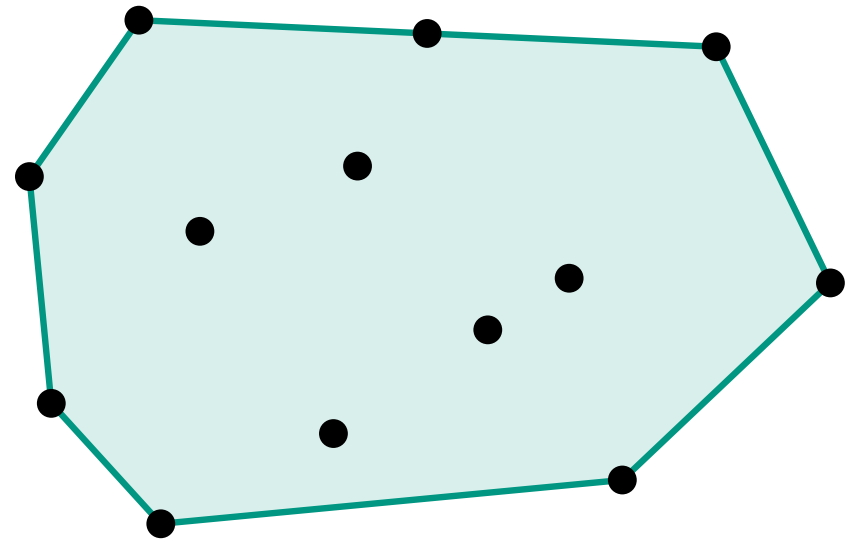
INSTITUT FÜR THEORETISCHE INFORMATIK · FAKULTÄT FÜR INFORMATIK

Martin Nöllenburg
15.07.2014



Def: Eine Menge $S \subseteq \mathbb{R}^2$ heißt **konvex**, wenn für je zwei Punkte $p, q \in S$ auch gilt $\overline{pq} \in S$.

Die **konvexe Hülle** $CH(P)$ einer Punktmenge P ist die kleinste konvexe Menge, die P enthält.

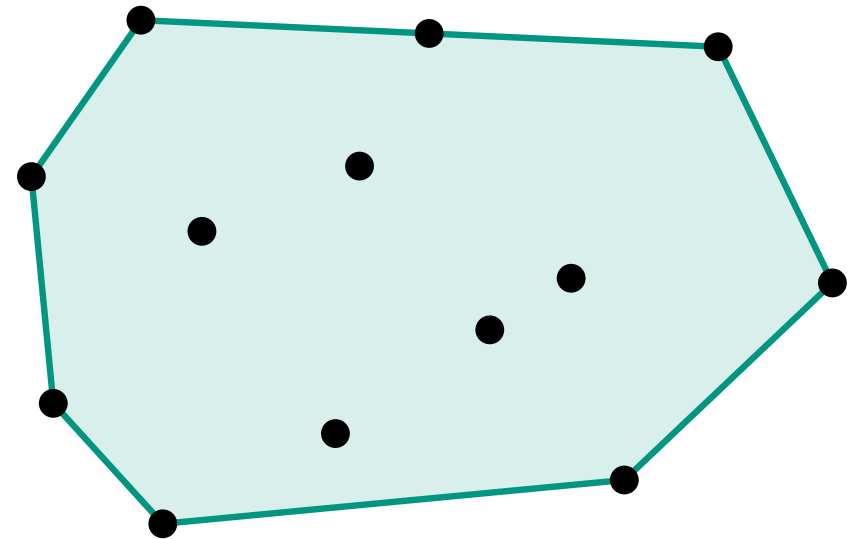


Def: Eine Menge $S \subseteq \mathbb{R}^2$ heißt **konvex**, wenn für je zwei Punkte $p, q \in S$ auch gilt $\overline{pq} \in S$.

Die **konvexe Hülle** $CH(P)$ einer Punktmenge P ist die kleinste konvexe Menge, die P enthält.

Wir haben gesehen:

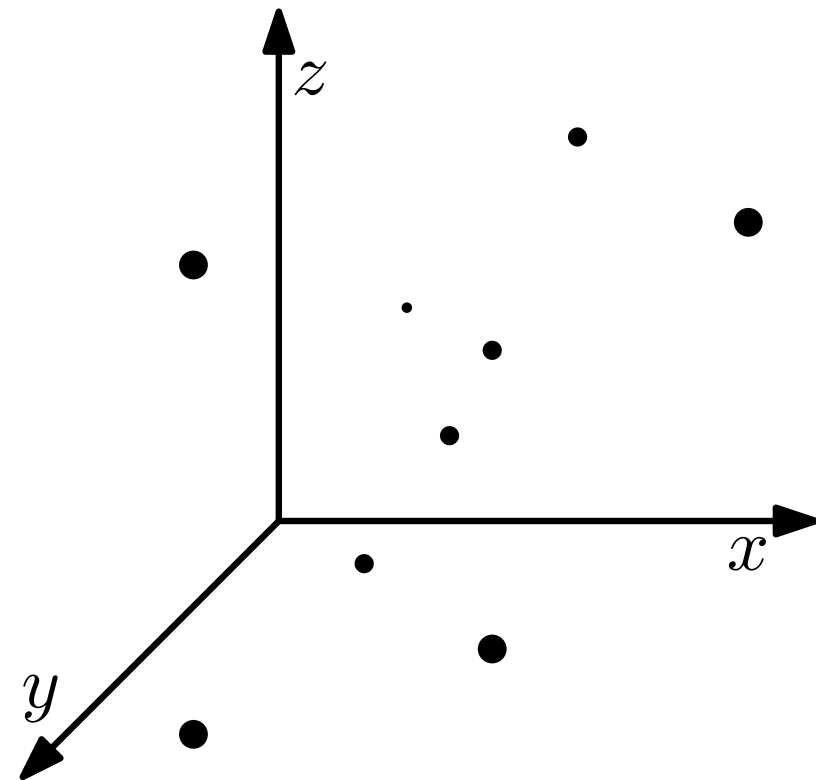
- $CH(P)$ ist konvexes Polygon mit Ecken in P und $O(n)$ Kanten
- drei Algorithmen zur Berechnung von $CH(P)$ in Zeit $O(n \log n)$, $O(nh)$ und $O(n \log h)$, wobei $h =$ Anzahl Ecken von $CH(P)$



Def: Eine Menge $S \subseteq \mathbb{R}^3$ heißt **konvex**, wenn für je zwei Punkte $p, q \in S$ auch gilt $\overline{pq} \in S$.

Die **konvexe Hülle** $CH(P)$ einer Punktmenge P ist die kleinste konvexe Menge, die P enthält.

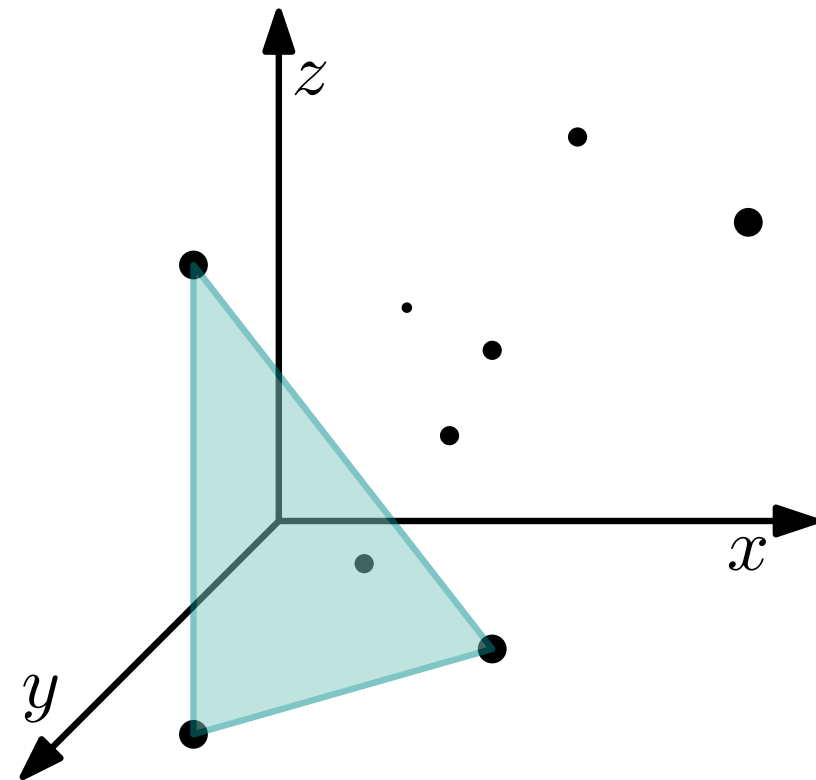
Was ist $CH(P)$ in \mathbb{R}^3 ?



Def: Eine Menge $S \subseteq \mathbb{R}^3$ heißt **konvex**, wenn für je zwei Punkte $p, q \in S$ auch gilt $\overline{pq} \in S$.

Die **konvexe Hülle** $CH(P)$ einer Punktmenge P ist die kleinste konvexe Menge, die P enthält.

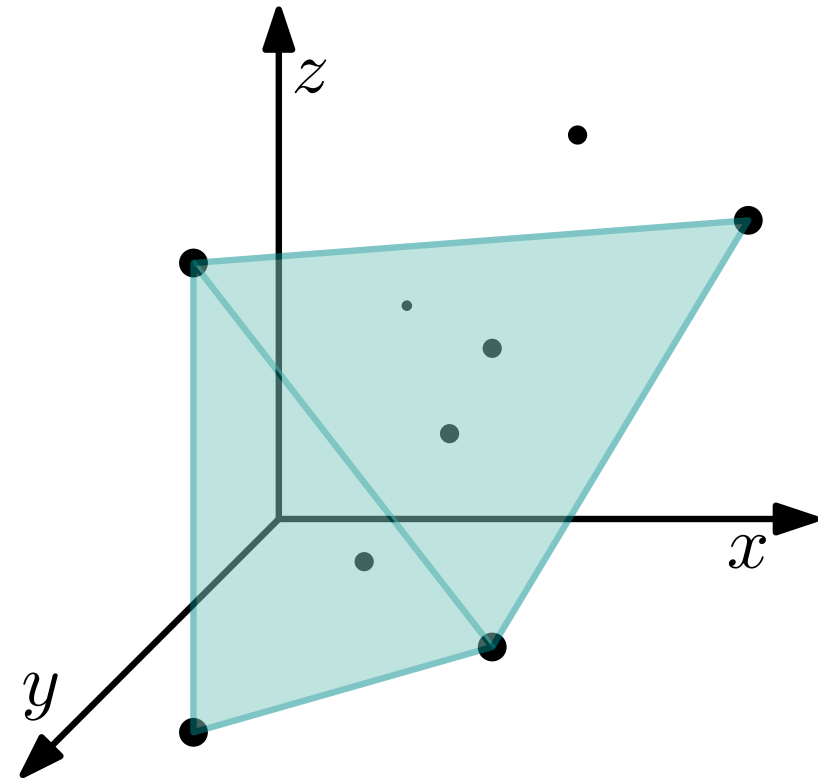
Was ist $CH(P)$ in \mathbb{R}^3 ?



Def: Eine Menge $S \subseteq \mathbb{R}^3$ heißt **konvex**, wenn für je zwei Punkte $p, q \in S$ auch gilt $\overline{pq} \in S$.

Die **konvexe Hülle** $CH(P)$ einer Punktmenge P ist die kleinste konvexe Menge, die P enthält.

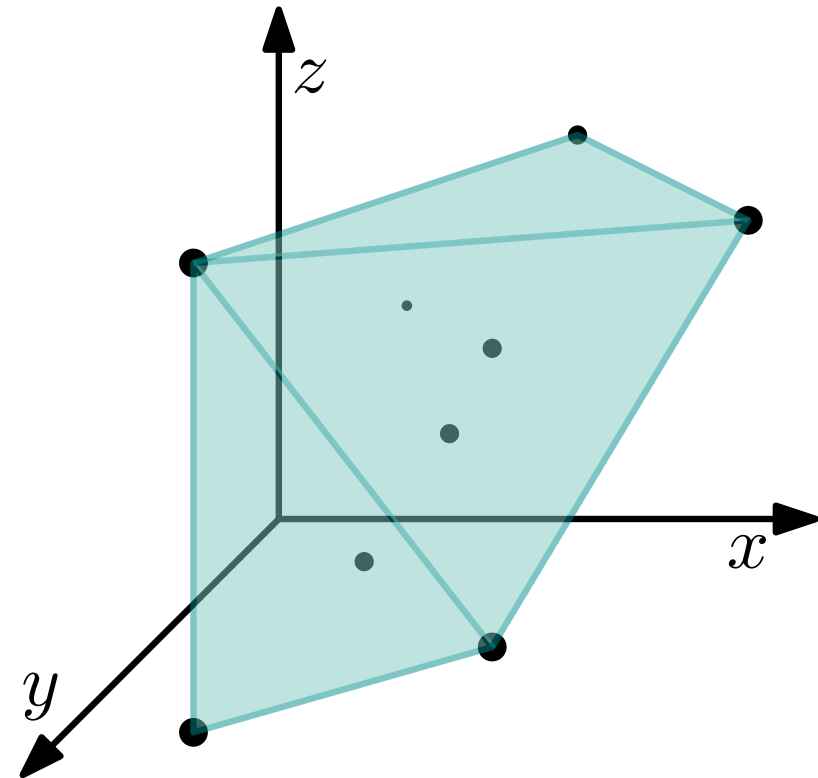
Was ist $CH(P)$ in \mathbb{R}^3 ?



Def: Eine Menge $S \subseteq \mathbb{R}^3$ heißt **konvex**, wenn für je zwei Punkte $p, q \in S$ auch gilt $\overline{pq} \in S$.

Die **konvexe Hülle** $CH(P)$ einer Punktmenge P ist die kleinste konvexe Menge, die P enthält.

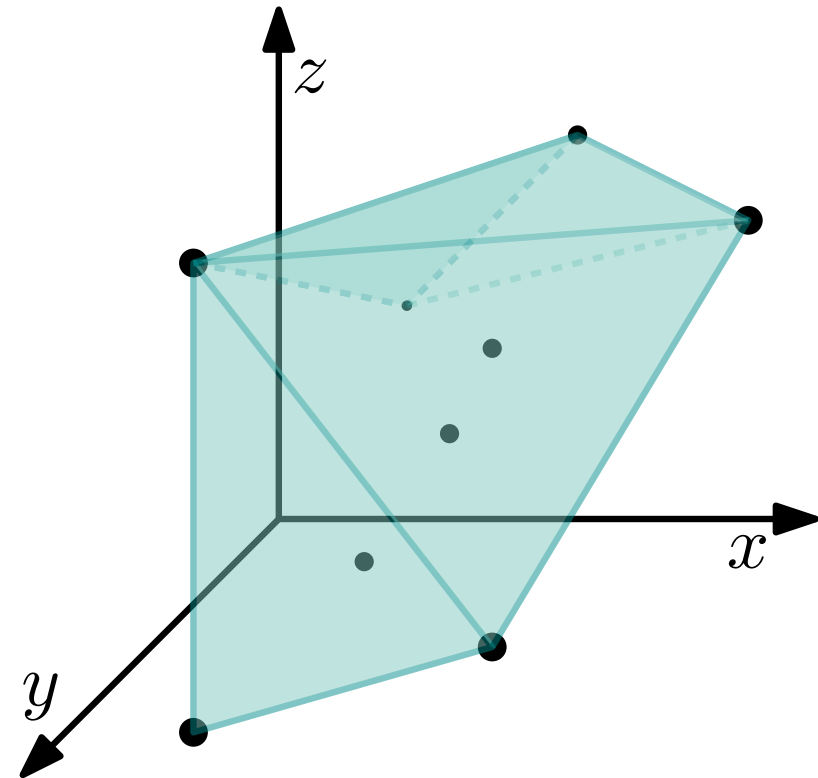
Was ist $CH(P)$ in \mathbb{R}^3 ?



Def: Eine Menge $S \subseteq \mathbb{R}^3$ heißt **konvex**, wenn für je zwei Punkte $p, q \in S$ auch gilt $\overline{pq} \in S$.

Die **konvexe Hülle** $CH(P)$ einer Punktmenge P ist die kleinste konvexe Menge, die P enthält.

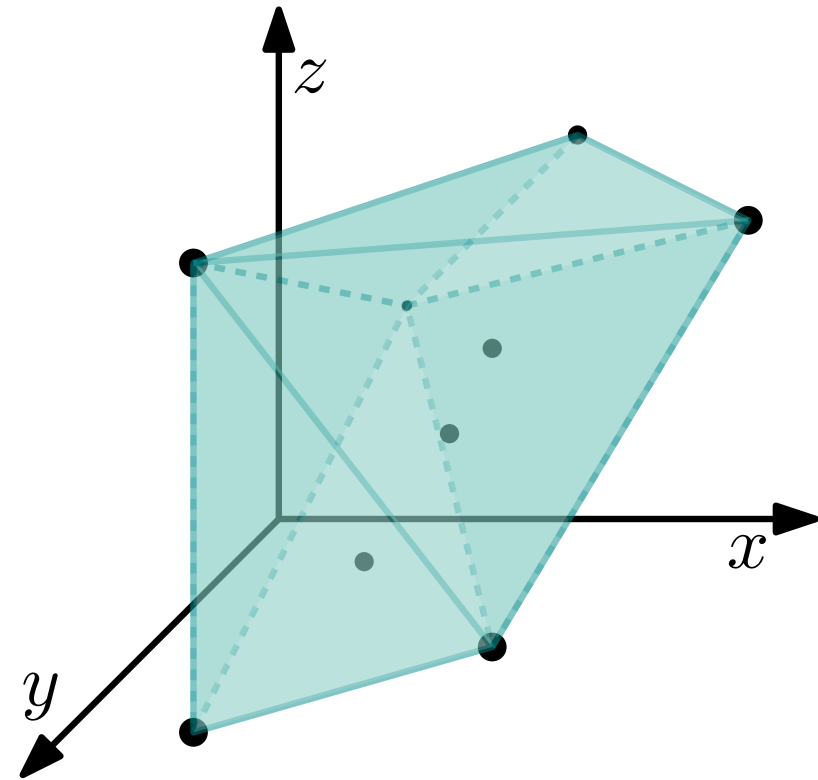
Was ist $CH(P)$ in \mathbb{R}^3 ?



Def: Eine Menge $S \subseteq \mathbb{R}^3$ heißt **konvex**, wenn für je zwei Punkte $p, q \in S$ auch gilt $\overline{pq} \in S$.

Die **konvexe Hülle** $CH(P)$ einer Punktmenge P ist die kleinste konvexe Menge, die P enthält.

Was ist $CH(P)$ in \mathbb{R}^3 ?



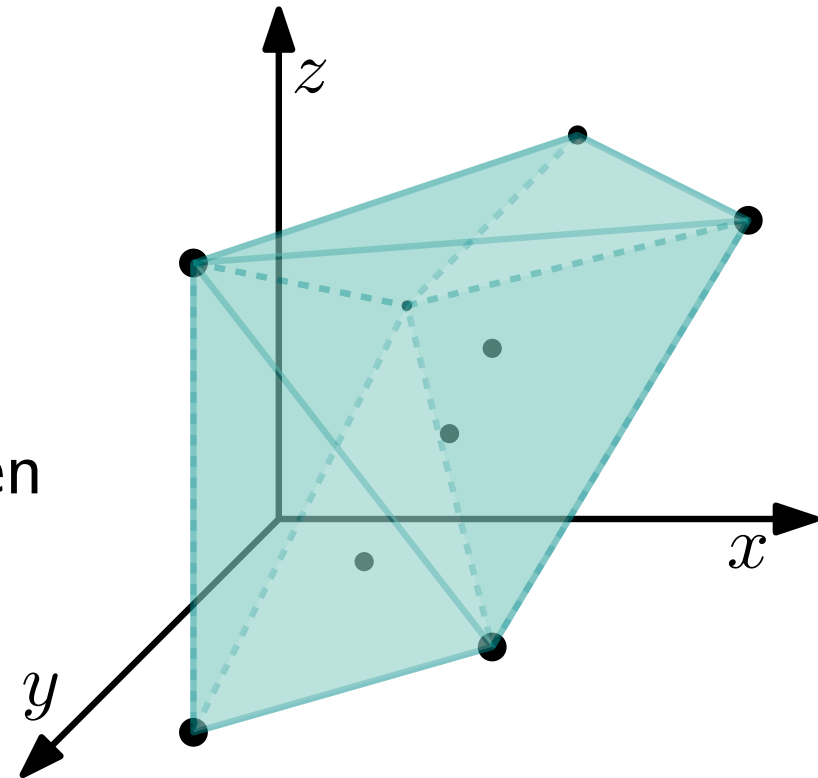
Def: Eine Menge $S \subseteq \mathbb{R}^3$ heißt **konvex**, wenn für je zwei Punkte $p, q \in S$ auch gilt $\overline{pq} \in S$.

Die **konvexe Hülle** $CH(P)$ einer Punktmenge P ist die kleinste konvexe Menge, die P enthält.

Was ist $CH(P)$ in \mathbb{R}^3 ?

Satz 1:

$CH(P)$ ist ein konvexes Polyeder mit Ecken $\subseteq P$ ($|P| = n$). Für die Anzahlen f der Flächen und m der Kanten gilt



Def: Eine Menge $S \subseteq \mathbb{R}^3$ heißt **konvex**, wenn für je zwei Punkte $p, q \in S$ auch gilt $\overline{pq} \in S$.

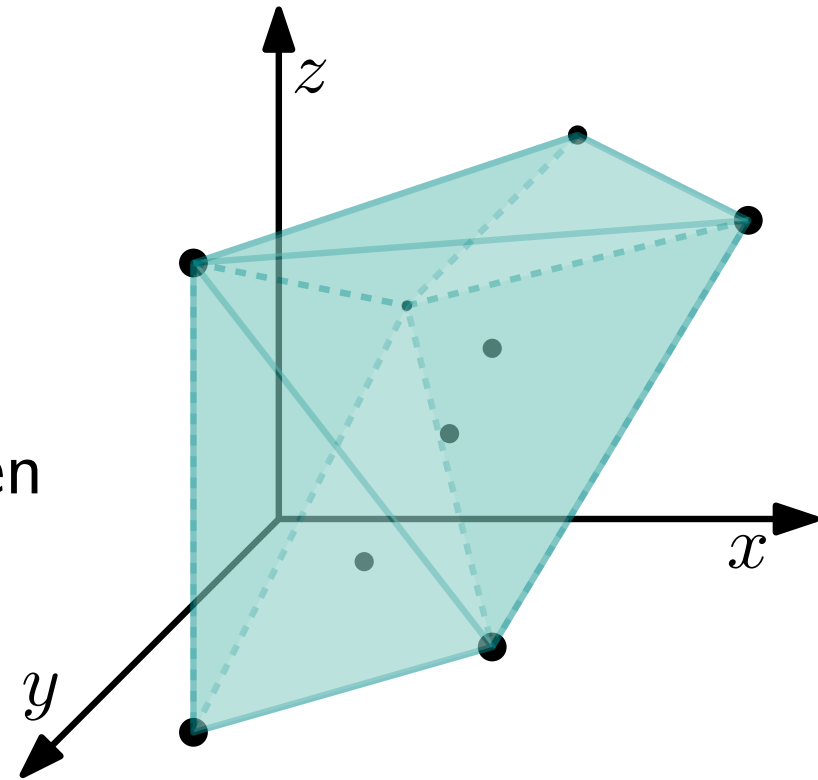
Die **konvexe Hülle** $CH(P)$ einer Punktmenge P ist die kleinste konvexe Menge, die P enthält.

Was ist $CH(P)$ in \mathbb{R}^3 ?

Satz 1:

$CH(P)$ ist ein konvexes Polyeder mit Ecken $\subseteq P$ ($|P| = n$). Für die Anzahlen f der Flächen und m der Kanten gilt $f \leq 2n - 4$ und $m \leq 3n - 6$.

Beweis: Satz von Euler □



Def: Eine Menge $S \subseteq \mathbb{R}^3$ heißt **konvex**, wenn für je zwei Punkte $p, q \in S$ auch gilt $\overline{pq} \in S$.

Die **konvexe Hülle** $CH(P)$ einer Punktmenge P ist die kleinste konvexe Menge, die P enthält.

Was ist $CH(P)$ in \mathbb{R}^3 ?

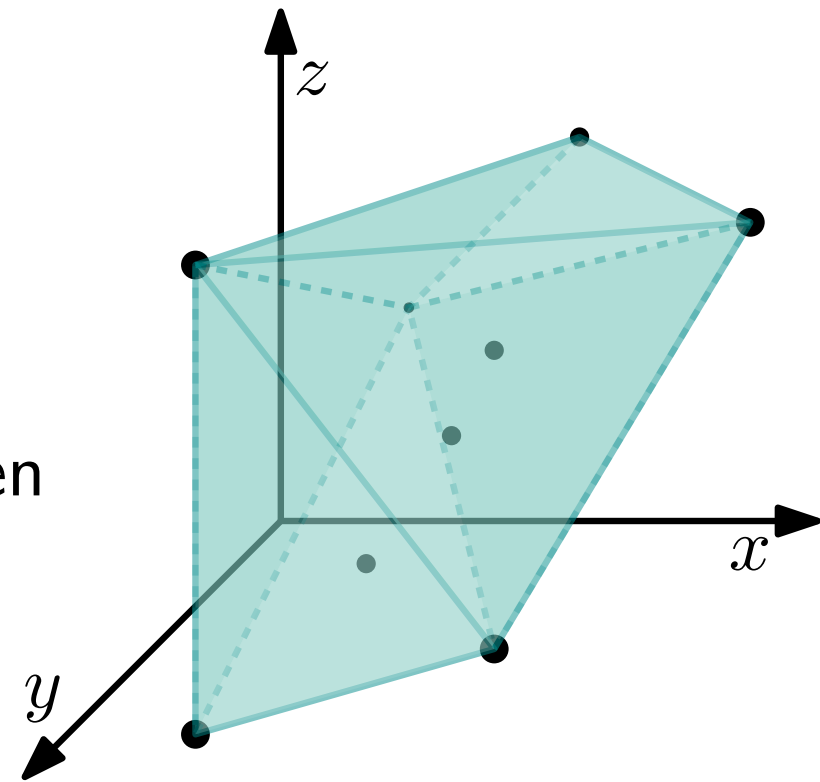
Satz 1:

$CH(P)$ ist ein konvexes Polyeder mit Ecken $\subseteq P$ ($|P| = n$). Für die Anzahlen f der Flächen und m der Kanten gilt $f \leq 2n - 4$ und $m \leq 3n - 6$.

Beweis: Satz von Euler

□

→ Repräsentation über DCEL wie für planare Graphen

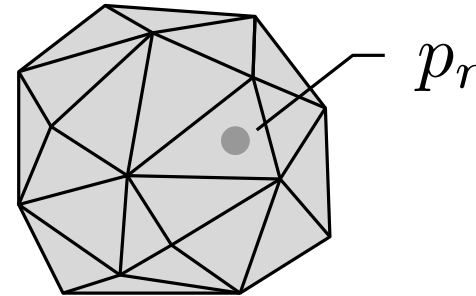


Angenommen wir kennen $CH(P_{r-1})$ für die ersten $r - 1$ Punkte $P_{r-1} = \{p_1, \dots, p_{r-1}\}$, wie bestimmt man $CH(P_r)$?

Angenommen wir kennen $CH(P_{r-1})$ für die ersten $r - 1$ Punkte $P_{r-1} = \{p_1, \dots, p_{r-1}\}$, wie bestimmt man $CH(P_r)$?

Fall 1: $p_r \in CH(P_{r-1})$

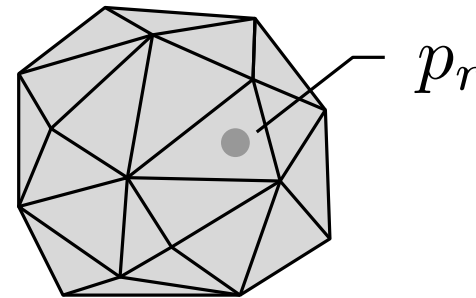
$$\Rightarrow CH(P_r) = CH(P_{r-1})$$



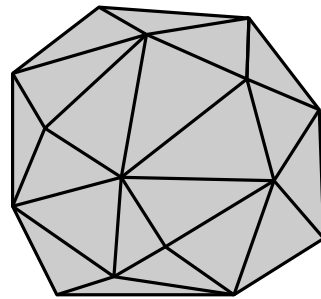
Angenommen wir kennen $CH(P_{r-1})$ für die ersten $r - 1$ Punkte $P_{r-1} = \{p_1, \dots, p_{r-1}\}$, wie bestimmt man $CH(P_r)$?

Fall 1: $p_r \in CH(P_{r-1})$

$$\Rightarrow CH(P_r) = CH(P_{r-1})$$



Fall 2: $p_r \notin CH(P_{r-1})$

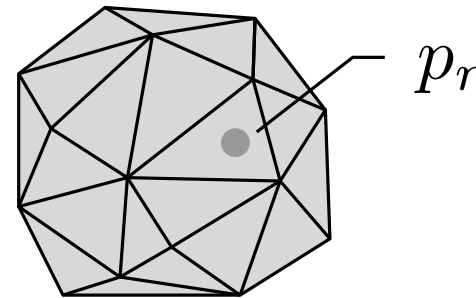


$\bullet p_r$

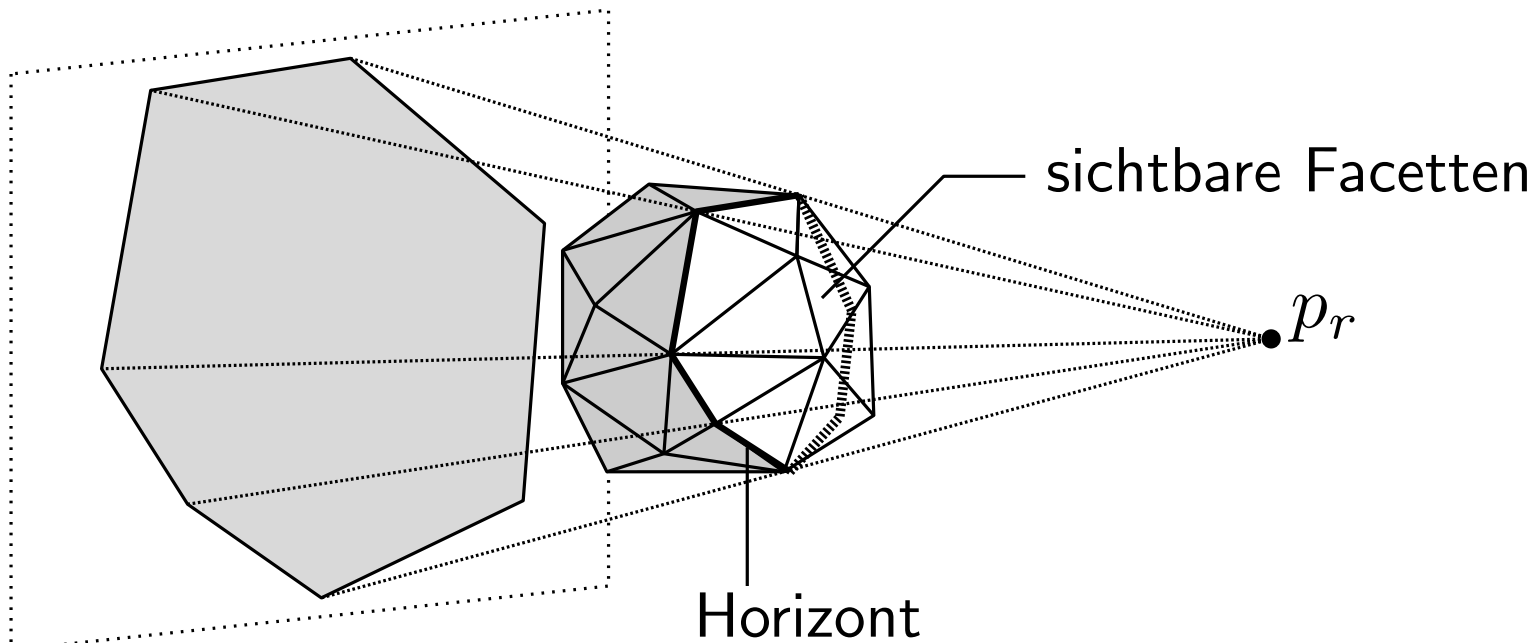
Angenommen wir kennen $CH(P_{r-1})$ für die ersten $r - 1$ Punkte $P_{r-1} = \{p_1, \dots, p_{r-1}\}$, wie bestimmt man $CH(P_r)$?

Fall 1: $p_r \in CH(P_{r-1})$

$$\Rightarrow CH(P_r) = CH(P_{r-1})$$



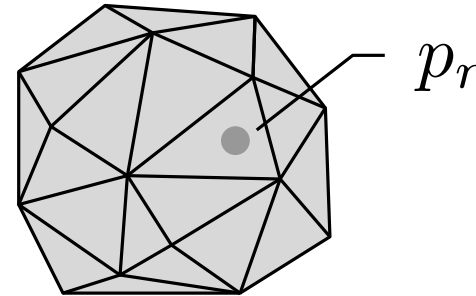
Fall 2: $p_r \notin CH(P_{r-1})$



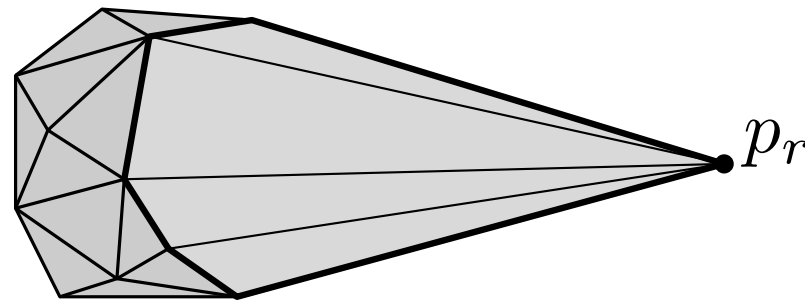
Angenommen wir kennen $CH(P_{r-1})$ für die ersten $r - 1$ Punkte $P_{r-1} = \{p_1, \dots, p_{r-1}\}$, wie bestimmt man $CH(P_r)$?

Fall 1: $p_r \in CH(P_{r-1})$

$$\Rightarrow CH(P_r) = CH(P_{r-1})$$

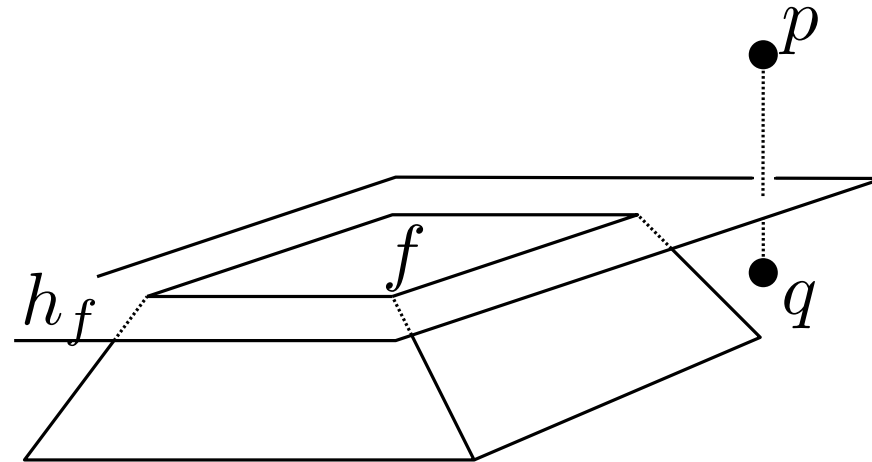


Fall 2: $p_r \notin CH(P_{r-1})$



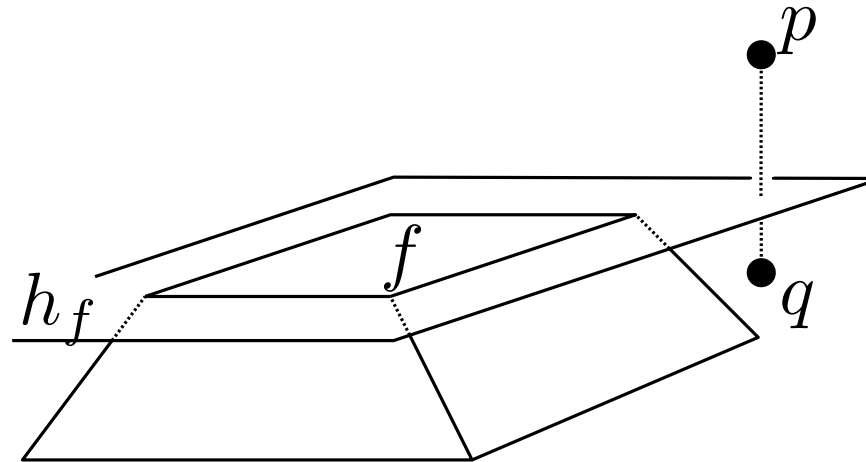
Ersetze sichtbare Facetten durch neue Dreiecke mit allen Horizontkanten

Wann ist eine Facette f von $CH(P_{r-1})$ von p_r aus sichtbar?



Facette f sichtbar von p aber nicht von q aus

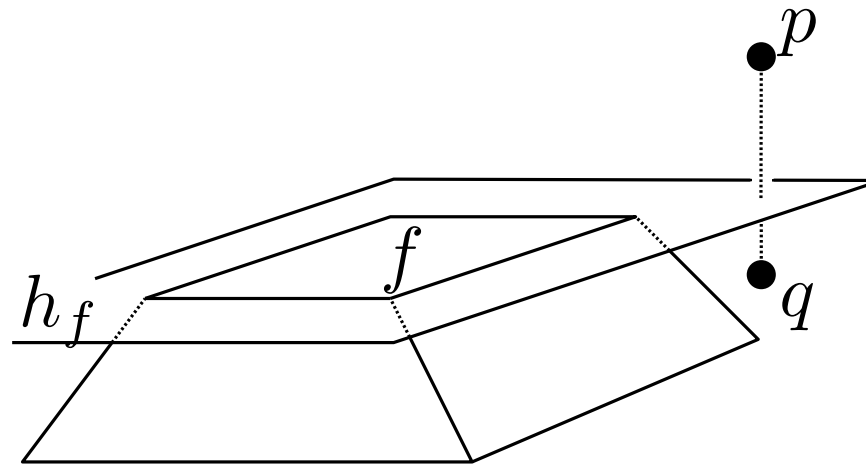
Wann ist eine Facette f von $CH(P_{r-1})$ von p_r aus sichtbar?



Facette f sichtbar von p aber nicht von q aus

- betrachte Halbebene h_f , die f enthält
- $CH(P_{r-1})$ liegt komplett auf einer Seite von h_f
- alle Punkte auf der offenen anderen Seite von h_f sehen f

Wann ist eine Facette f von $CH(P_{r-1})$ von p_r aus sichtbar?



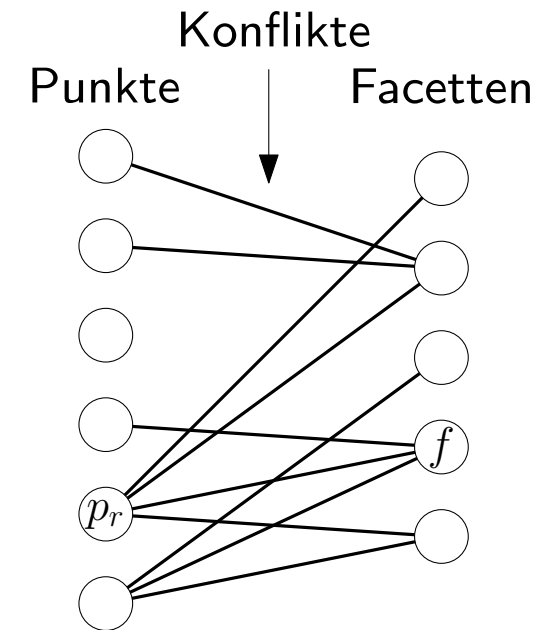
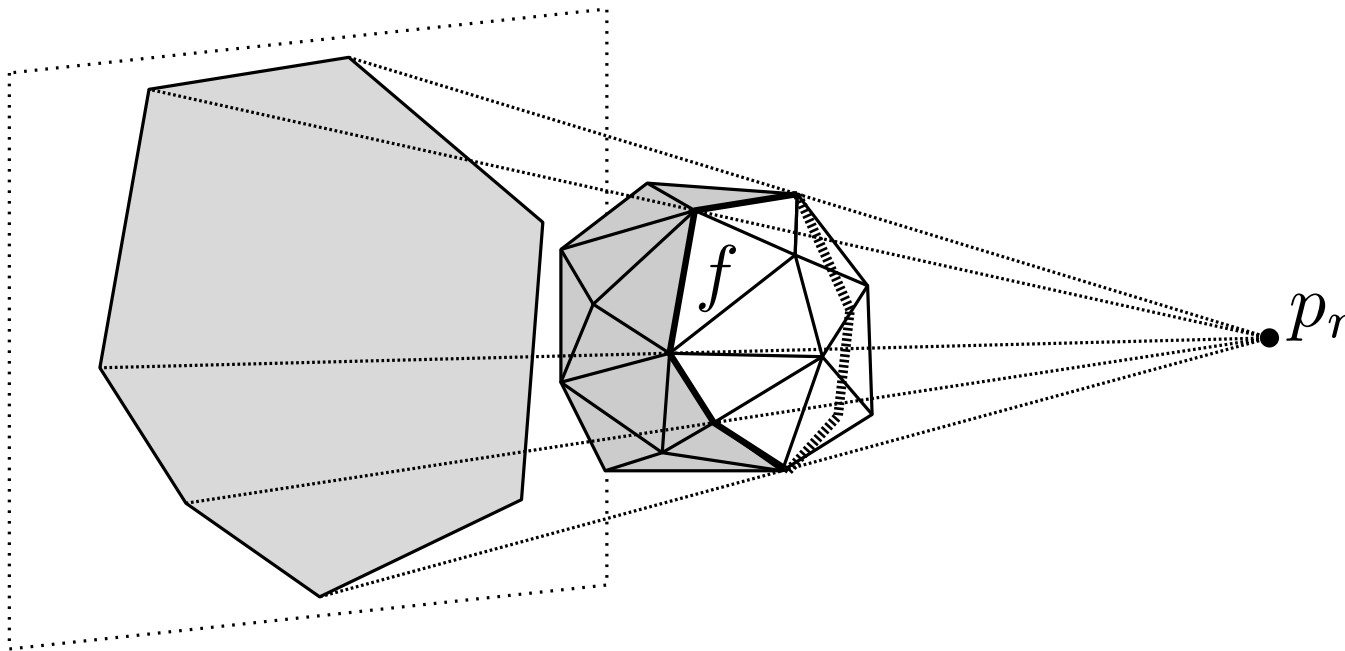
Facette f sichtbar von p aber nicht von q aus

- betrachte Halbebene h_f , die f enthält
- $CH(P_{r-1})$ liegt komplett auf einer Seite von h_f
- alle Punkte auf der offenen anderen Seite von h_f sehen f

Aufgabe: entwerfen Sie einen inkrementellen Algorithmus zur Berechnung der konvexen Hülle

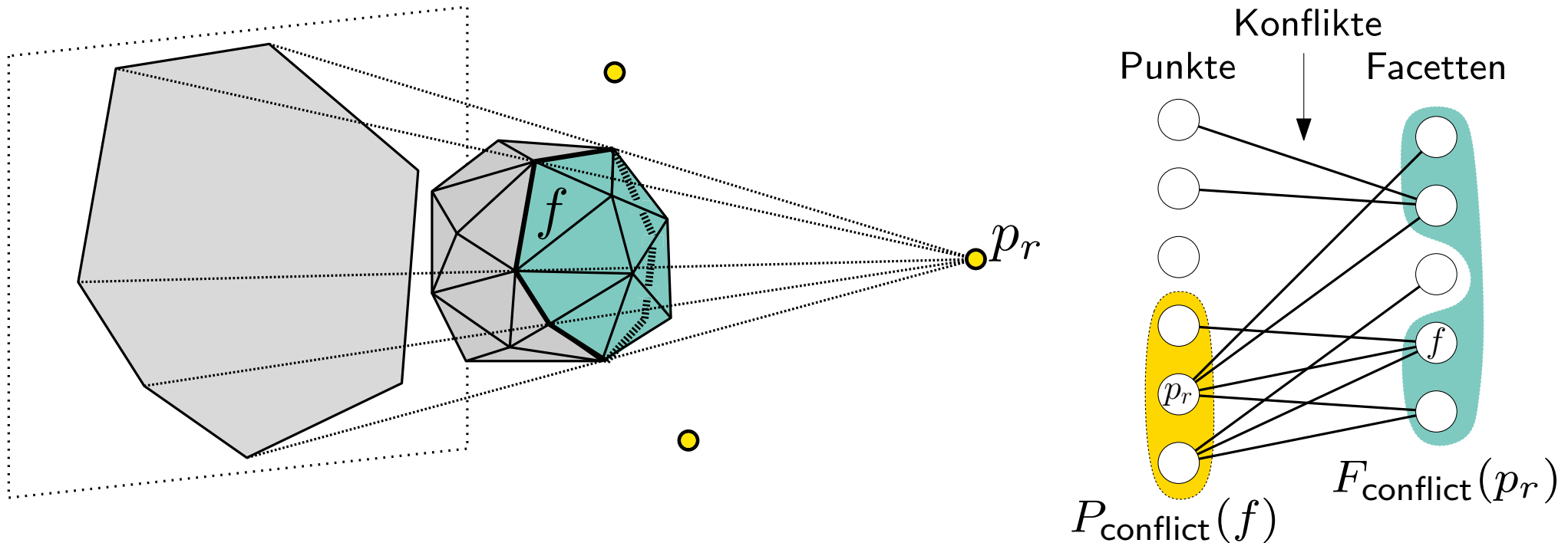
Schnelle Bestimmung der sichtbaren Facetten

Erstelle bipartiten **Konfliktgraph** G , der verbleibende Punkte, aktuelle Facetten und Sichtbarkeiten (Konflikte) repräsentiert

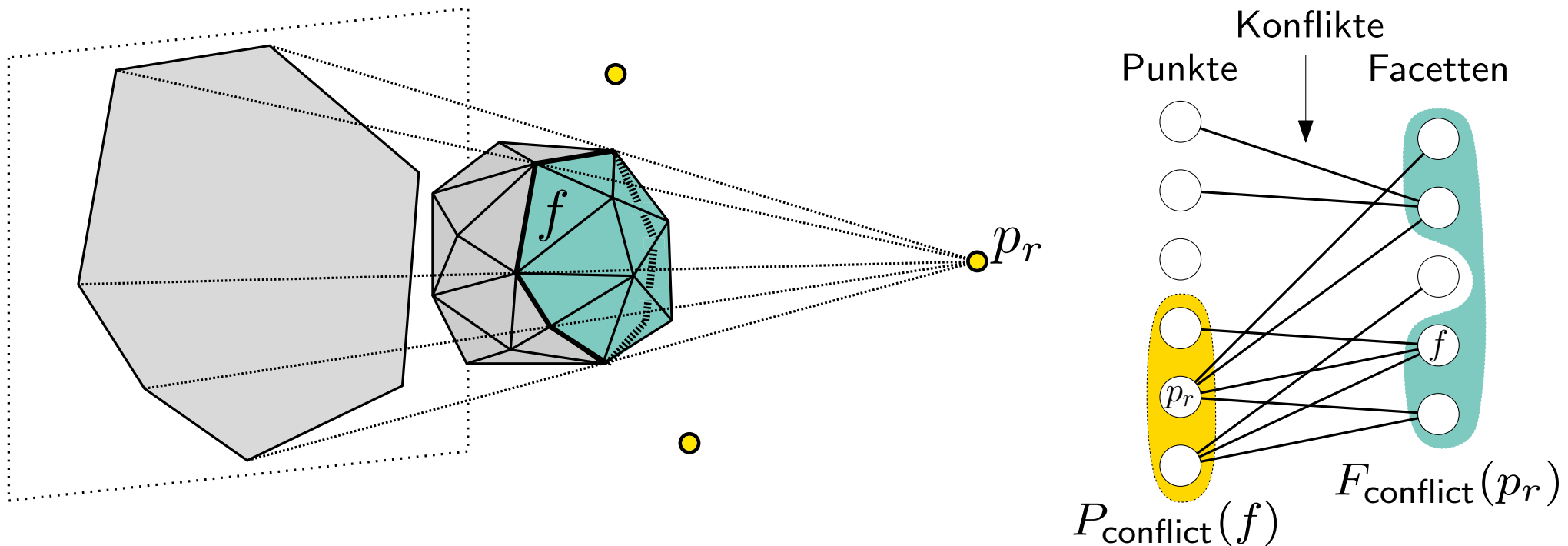


Schnelle Bestimmung der sichtbaren Facetten

Erstelle bipartiten **Konfliktgraph** G , der verbleibende Punkte, aktuelle Facetten und Sichtbarkeiten (Konflikte) repräsentiert

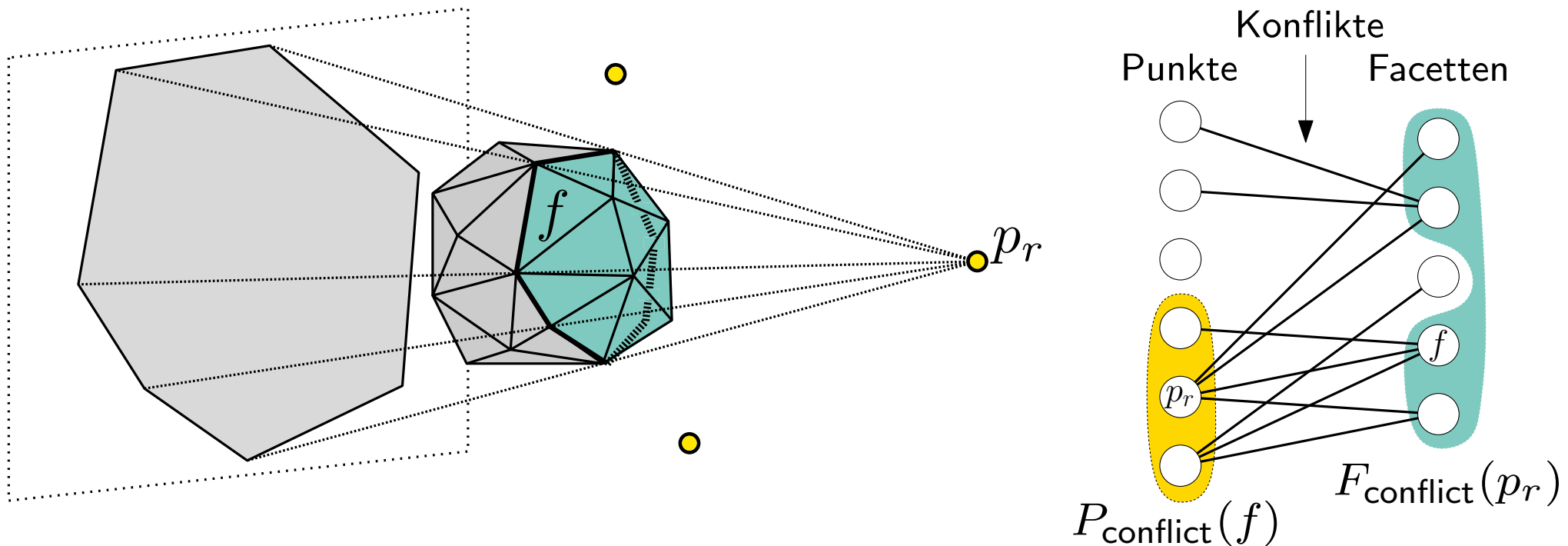


Erstelle bipartiten **Konfliktgraph** G , der verbleibende Punkte, aktuelle Facetten und Sichtbarkeiten (Konflikte) repräsentiert



- $P_{\text{conflict}}(f) = \{\text{unbearbeitete Punkte, die } f \text{ sehen}\}$
- $F_{\text{conflict}}(p_r) = \{\text{Facetten der konvexen Hülle, die } p_r \text{ sieht}\}$
- Kanten zw. f und $P_{\text{conflict}}(f)$ bzw. zw. p und $F_{\text{conflict}}(p)$

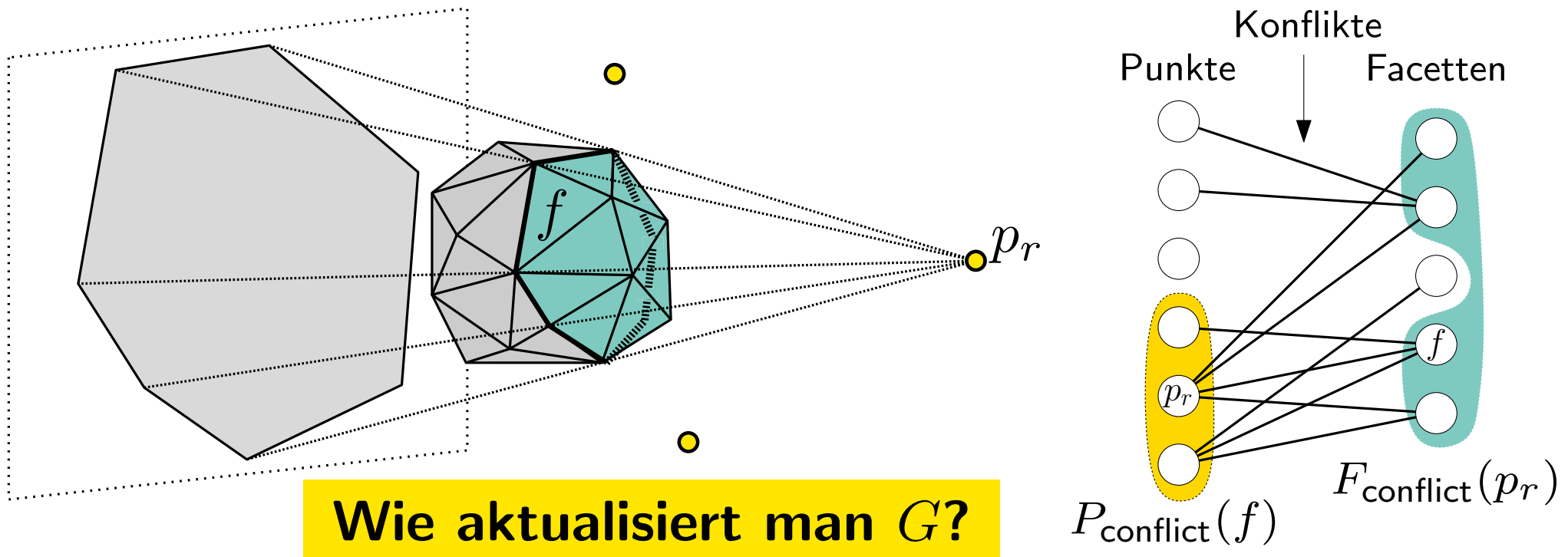
Erstelle bipartiten **Konfliktgraph** G , der verbleibende Punkte, aktuelle Facetten und Sichtbarkeiten (Konflikte) repräsentiert



- $P_{\text{conflict}}(f) = \{\text{unbearbeitete Punkte, die } f \text{ sehen}\}$
- $F_{\text{conflict}}(p_r) = \{\text{Facetten der konvexen Hülle, die } p_r \text{ sieht}\}$
- Kanten zw. f und $P_{\text{conflict}}(f)$ bzw. zw. p und $F_{\text{conflict}}(p)$

→ sichtbare Facetten und Horizont aus $F_{\text{conflict}}(p_r)$ ablesbar

Erstelle bipartiten **Konfliktgraph** G , der verbleibende Punkte, aktuelle Facetten und Sichtbarkeiten (Konflikte) repräsentiert



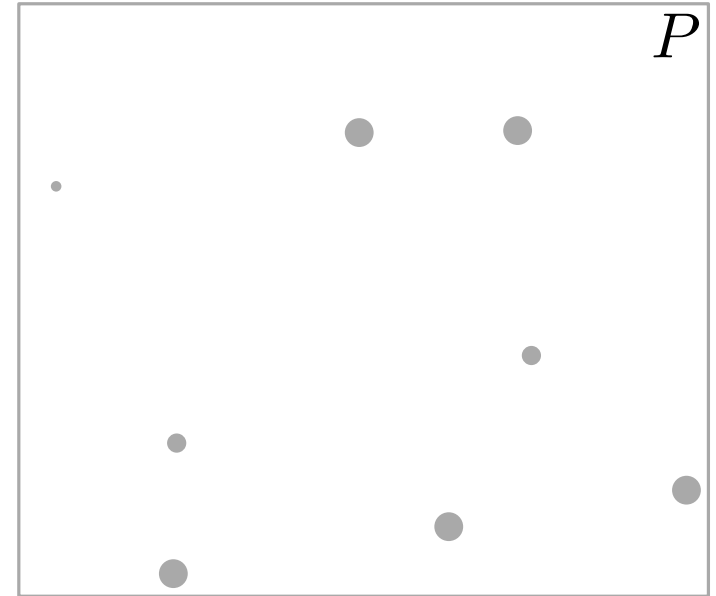
Wie aktualisiert man G ?

- $P_{\text{conflict}}(f) = \{\text{unbearbeitete Punkte, die } f \text{ sehen}\}$
- $F_{\text{conflict}}(p_r) = \{\text{Facetten der konvexen Hülle, die } p_r \text{ sieht}\}$
- Kanten zw. f und $P_{\text{conflict}}(f)$ bzw. zw. p und $F_{\text{conflict}}(p)$

→ sichtbare Facetten und Horizont aus $F_{\text{conflict}}(p_r)$ ablesbar

3DConvexHull-Algorithmus

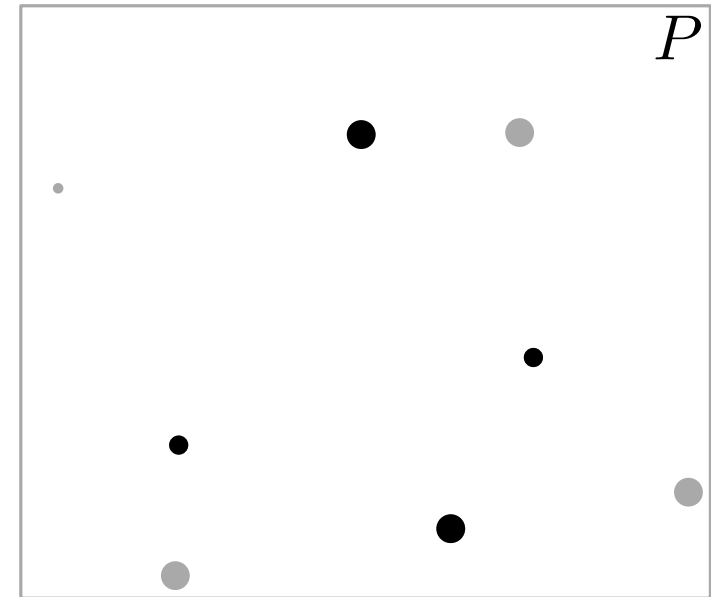
$3dConvexHull(P)$



3DConvexHull-Algorithmus

$3dConvexHull(P)$

$P' \leftarrow \{p_1, p_2, p_3, p_4\} \subseteq P$ (nicht koplan.)

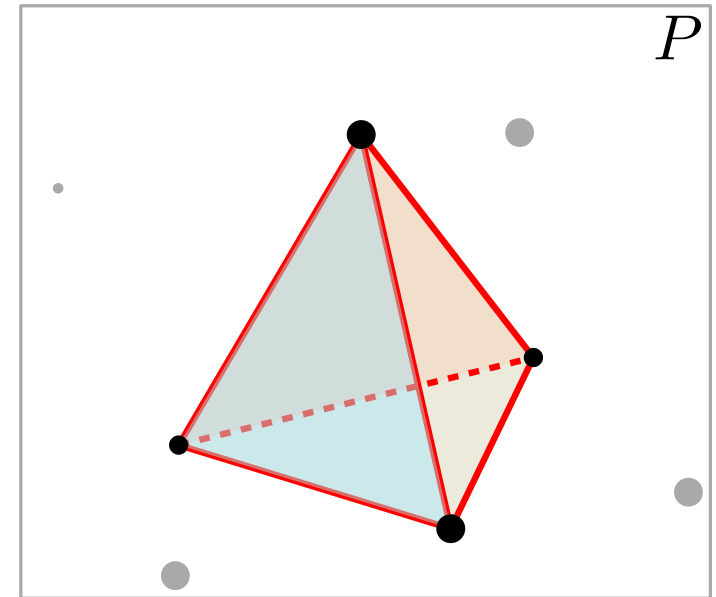


3DConvexHull-Algorithmus

$3dConvexHull(P)$

$P' \leftarrow \{p_1, p_2, p_3, p_4\} \subseteq P$ (nicht koplan.)

$C \leftarrow CH(P')$



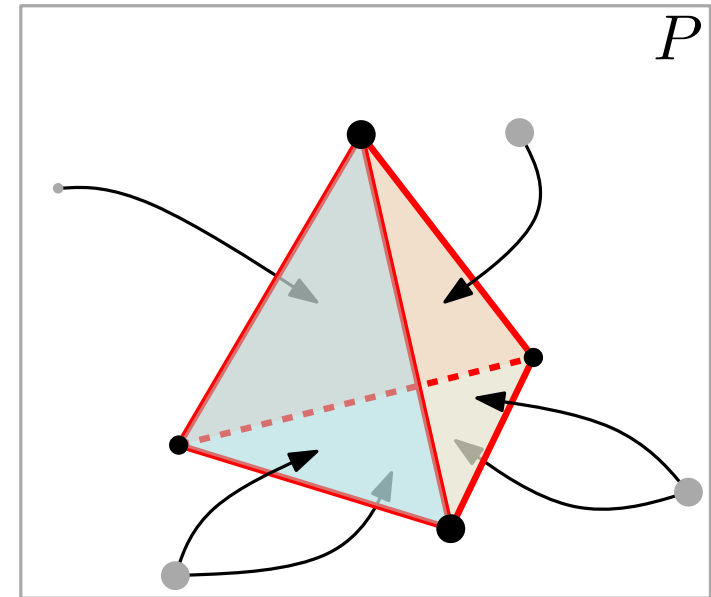
3DConvexHull-Algorithmus

$3dConvexHull(P)$

$P' \leftarrow \{p_1, p_2, p_3, p_4\} \subseteq P$ (nicht koplan.)

$C \leftarrow CH(P')$

initialisiere Konfliktgraph G



3dConvexHull(P)

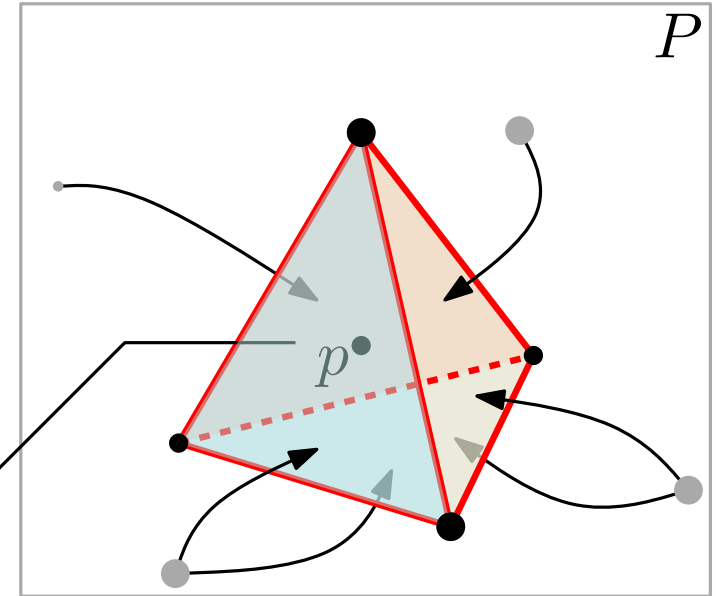
$P' \leftarrow \{p_1, p_2, p_3, p_4\} \subseteq P$ (nicht koplan.)

$C \leftarrow \text{CH}(P')$

initialisiere Konfliktgraph G

foreach $p \in P \setminus P'$ in Zufallsreihenfolge **do**

if $F_{\text{conflict}}(p) \neq \emptyset$ **then**



hier: $F_{\text{conflict}}(p) = \emptyset$, d.h. p liegt in $C \rightarrow$ nichts zu tun

3DConvexHull-Algorithmus

$3dConvexHull(P)$

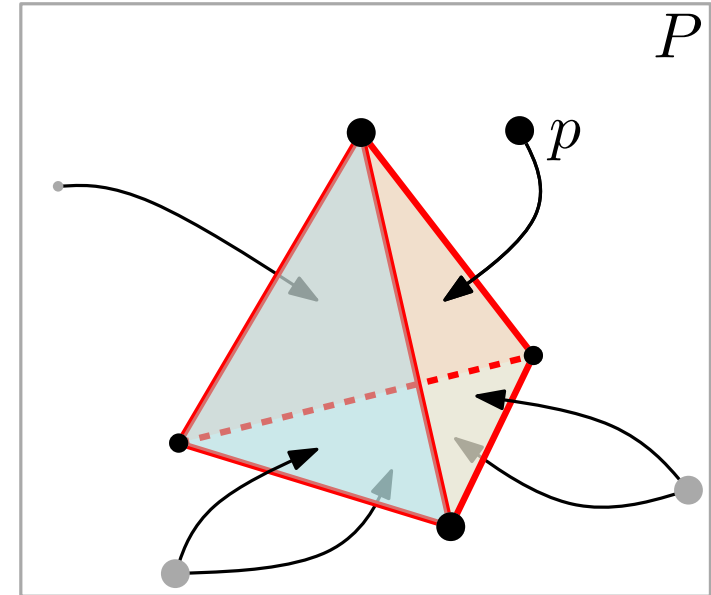
$P' \leftarrow \{p_1, p_2, p_3, p_4\} \subseteq P$ (nicht koplan.)

$C \leftarrow CH(P')$

initialisiere Konfliktgraph G

foreach $p \in P \setminus P'$ in Zufallsreihenfolge **do**

if $F_{\text{conflict}}(p) \neq \emptyset$ **then**



3DConvexHull-Algorithmus

3dConvexHull(P)

$P' \leftarrow \{p_1, p_2, p_3, p_4\} \subseteq P$ (nicht koplan.)

$C \leftarrow \text{CH}(P')$

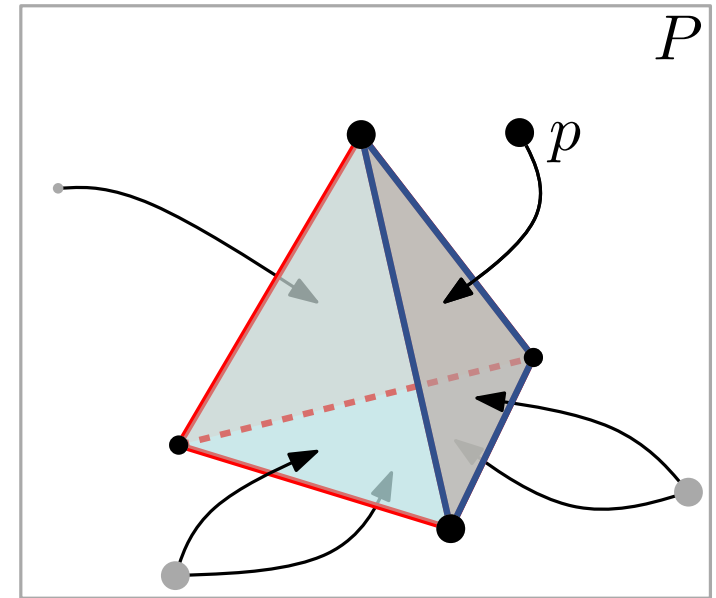
initialisiere Konfliktgraph G

foreach $p \in P \setminus P'$ in Zufallsreihenfolge **do**

if $F_{\text{conflict}}(p) \neq \emptyset$ **then**

lösche alle Facetten $F_{\text{conflict}}(p)$ aus C

$\mathcal{L} \leftarrow$ Horizont-Kanten von p



3DConvexHull-Algorithmus

3dConvexHull(P)

$P' \leftarrow \{p_1, p_2, p_3, p_4\} \subseteq P$ (nicht koplan.)

$C \leftarrow \text{CH}(P')$

initialisiere Konfliktgraph G

foreach $p \in P \setminus P'$ in Zufallsreihenfolge **do**

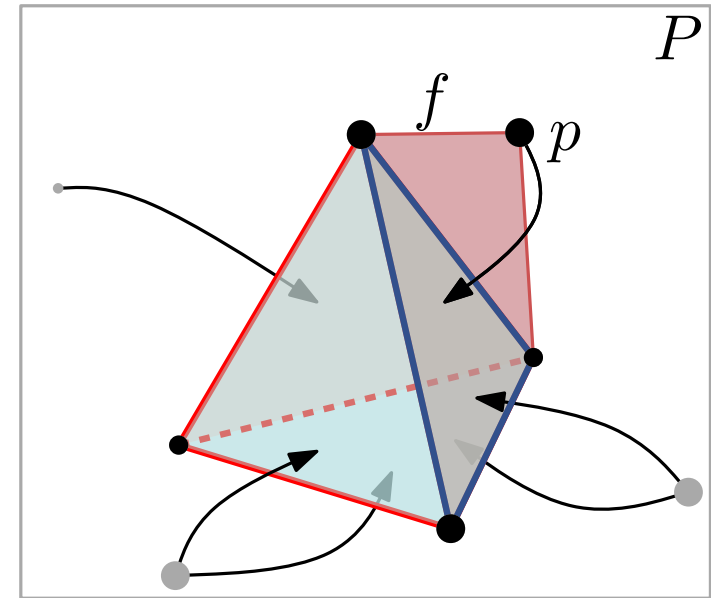
if $F_{\text{conflict}}(p) \neq \emptyset$ **then**

lösche alle Facetten $F_{\text{conflict}}(p)$ aus C

$\mathcal{L} \leftarrow$ Horizont-Kanten von p

foreach $e \in \mathcal{L}$ **do**

$f \leftarrow$ neue Facette zu (e, p) in C ; $v_f \leftarrow$ neuer Knoten für f in G



3dConvexHull(P)

$P' \leftarrow \{p_1, p_2, p_3, p_4\} \subseteq P$ (nicht koplan.)

$C \leftarrow \text{CH}(P')$

initialisiere Konfliktgraph G

foreach $p \in P \setminus P'$ in Zufallsreihenfolge **do**

if $F_{\text{conflict}}(p) \neq \emptyset$ **then**

lösche alle Facetten $F_{\text{conflict}}(p)$ aus C

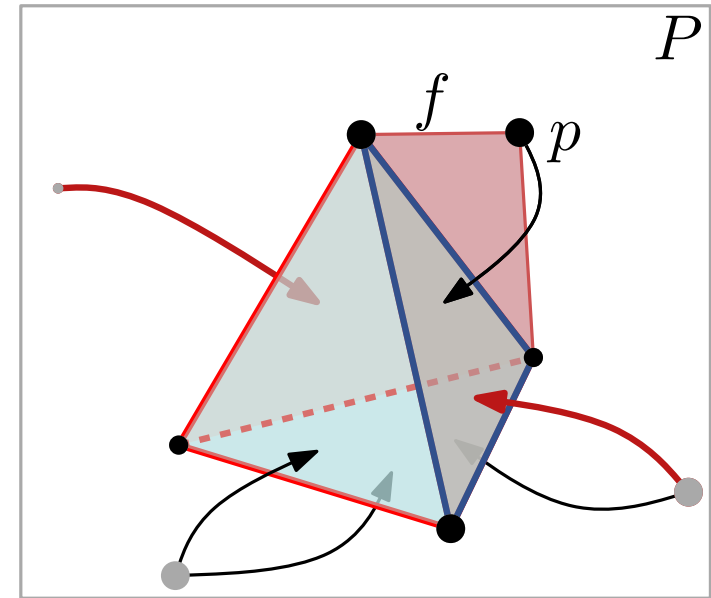
$\mathcal{L} \leftarrow$ Horizont-Kanten von p

foreach $e \in \mathcal{L}$ **do**

$f \leftarrow$ neue Facette zu (e, p) in C ; $v_f \leftarrow$ neuer Knoten für f in G

$(f_1, f_2) \leftarrow$ Facetten vorher inzident zu e in C

$P(e) \leftarrow P_{\text{conflict}}(f_1) \cup P_{\text{conflict}}(f_2)$



3dConvexHull(P)

$P' \leftarrow \{p_1, p_2, p_3, p_4\} \subseteq P$ (nicht koplan.)

$C \leftarrow \text{CH}(P')$

initialisiere Konfliktgraph G

foreach $p \in P \setminus P'$ in Zufallsreihenfolge **do**

if $F_{\text{conflict}}(p) \neq \emptyset$ **then**

lösche alle Facetten $F_{\text{conflict}}(p)$ aus C

$\mathcal{L} \leftarrow$ Horizont-Kanten von p

foreach $e \in \mathcal{L}$ **do**

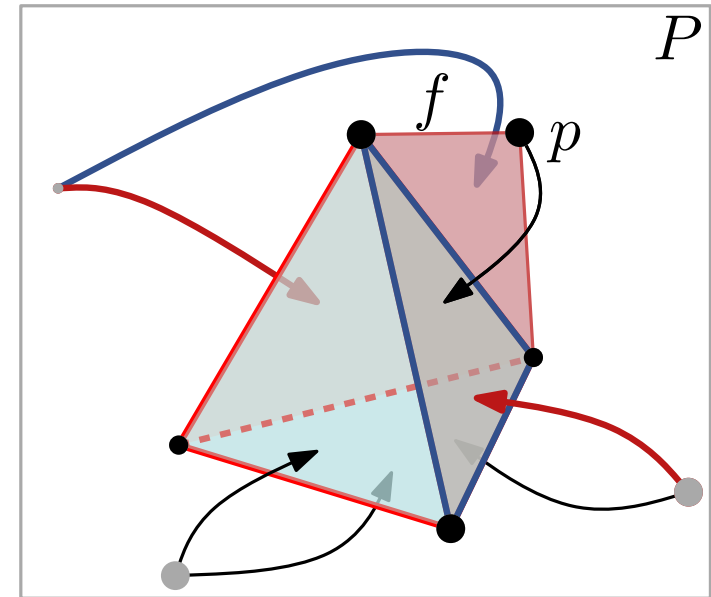
$f \leftarrow$ neue Facette zu (e, p) in C ; $v_f \leftarrow$ neuer Knoten für f in G

$(f_1, f_2) \leftarrow$ Facetten vorher inzident zu e in C

$P(e) \leftarrow P_{\text{conflict}}(f_1) \cup P_{\text{conflict}}(f_2)$

foreach $p \in P(e)$ **do**

if f sichtbar von p **then** füge Kante (p, f) zu G hinzu



3dConvexHull(P)

$P' \leftarrow \{p_1, p_2, p_3, p_4\} \subseteq P$ (nicht koplan.)

$C \leftarrow \text{CH}(P')$

initialisiere Konfliktgraph G

foreach $p \in P \setminus P'$ in Zufallsreihenfolge **do**

if $F_{\text{conflict}}(p) \neq \emptyset$ **then**

 lösche alle Facetten $F_{\text{conflict}}(p)$ aus C

$\mathcal{L} \leftarrow$ Horizont-Kanten von p

foreach $e \in \mathcal{L}$ **do**

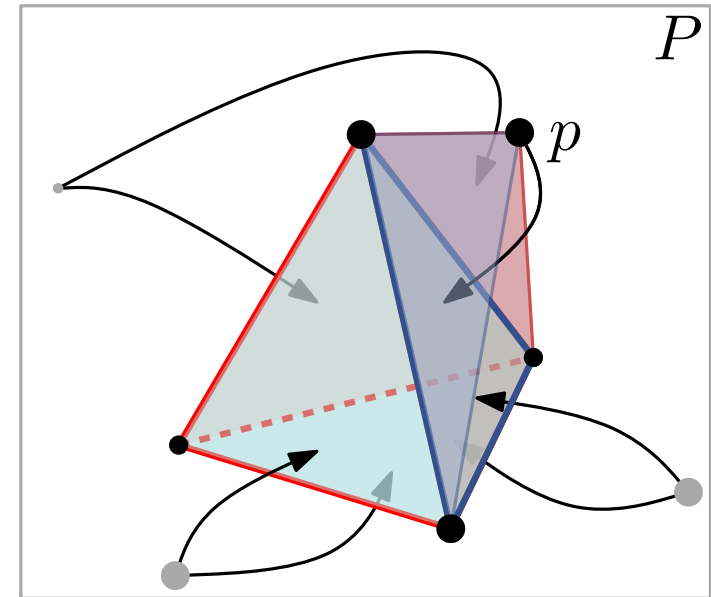
$f \leftarrow$ neue Facette zu (e, p) in C ; $v_f \leftarrow$ neuer Knoten für f in G

$(f_1, f_2) \leftarrow$ Facetten vorher inzident zu e in C

$P(e) \leftarrow P_{\text{conflict}}(f_1) \cup P_{\text{conflict}}(f_2)$

foreach $p \in P(e)$ **do**

if f sichtbar von p **then** füge Kante (p, f) zu G hinzu



3dConvexHull(P)

$P' \leftarrow \{p_1, p_2, p_3, p_4\} \subseteq P$ (nicht koplan.)

$C \leftarrow \text{CH}(P')$

initialisiere Konfliktgraph G

foreach $p \in P \setminus P'$ in Zufallsreihenfolge **do**

if $F_{\text{conflict}}(p) \neq \emptyset$ **then**

 lösche alle Facetten $F_{\text{conflict}}(p)$ aus C

$\mathcal{L} \leftarrow$ Horizont-Kanten von p

foreach $e \in \mathcal{L}$ **do**

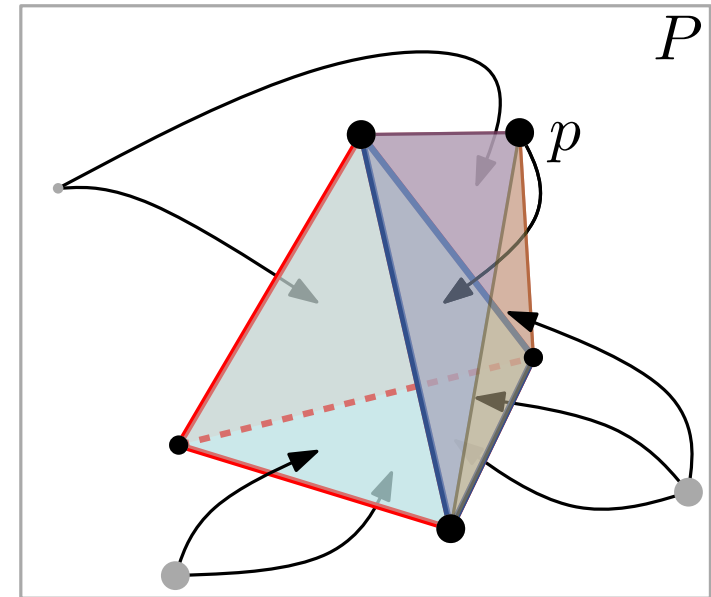
$f \leftarrow$ neue Facette zu (e, p) in C ; $v_f \leftarrow$ neuer Knoten für f in G

$(f_1, f_2) \leftarrow$ Facetten vorher inzident zu e in C

$P(e) \leftarrow P_{\text{conflict}}(f_1) \cup P_{\text{conflict}}(f_2)$

foreach $p \in P(e)$ **do**

if f sichtbar von p **then** füge Kante (p, f) zu G hinzu



3dConvexHull(P)

$P' \leftarrow \{p_1, p_2, p_3, p_4\} \subseteq P$ (nicht koplan.)

$C \leftarrow \text{CH}(P')$

initialisiere Konfliktgraph G

foreach $p \in P \setminus P'$ in Zufallsreihenfolge **do**

if $F_{\text{conflict}}(p) \neq \emptyset$ **then**

lösche alle Facetten $F_{\text{conflict}}(p)$ aus C

$\mathcal{L} \leftarrow$ Horizont-Kanten von p

foreach $e \in \mathcal{L}$ **do**

$f \leftarrow$ neue Facette zu (e, p) in C ; $v_f \leftarrow$ neuer Knoten für f in G

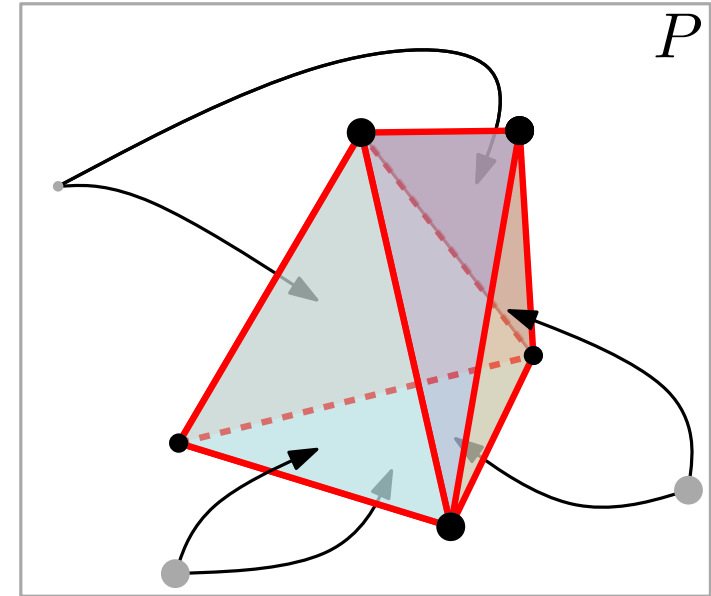
$(f_1, f_2) \leftarrow$ Facetten vorher inzident zu e in C

$P(e) \leftarrow P_{\text{conflict}}(f_1) \cup P_{\text{conflict}}(f_2)$

foreach $p \in P(e)$ **do**

if f sichtbar von p **then** füge Kante (p, f) zu G hinzu

lösche $\{p\} \cup F_{\text{conflict}}(p)$ aus G



3dConvexHull(P)

$P' \leftarrow \{p_1, p_2, p_3, p_4\} \subseteq P$ (nicht koplan.)

$C \leftarrow \text{CH}(P')$

initialisiere Konfliktgraph G

foreach $p \in P \setminus P'$ in Zufallsreihenfolge **do**

if $F_{\text{conflict}}(p) \neq \emptyset$ **then**

 lösche alle Facetten $F_{\text{conflict}}(p)$ aus C

$\mathcal{L} \leftarrow$ Horizont-Kanten von p

foreach $e \in \mathcal{L}$ **do**

$f \leftarrow$ neue Facette zu (e, p) in C ; $v_f \leftarrow$ neuer Knoten für f in G

$(f_1, f_2) \leftarrow$ Facetten vorher inzident zu e in C

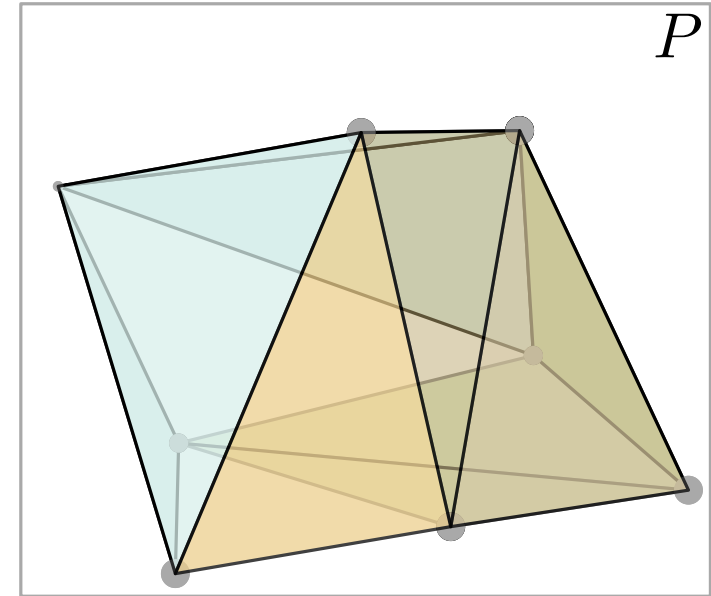
$P(e) \leftarrow P_{\text{conflict}}(f_1) \cup P_{\text{conflict}}(f_2)$

foreach $p \in P(e)$ **do**

if f sichtbar von p **then** füge Kante (p, f) zu G hinzu

 lösche $\{p\} \cup F_{\text{conflict}}(p)$ aus G

return C



3DConvexHull-Algorithmus

3dConvexHull(P)

$P' \leftarrow \{p_1, p_2, p_3, p_4\} \subseteq P$ (nicht koplan.)

$C \leftarrow \text{CH}(P')$

initialisiere Konfliktgraph G

foreach $p \in P \setminus P'$ in Zufallsreihenfolge **do**

if $F_{\text{conflict}}(p) \neq \emptyset$ **then**

lösche alle Facetten $F_{\text{conflict}}(p)$ aus C

$\mathcal{L} \leftarrow$ Horizont-Kanten von p

foreach $e \in \mathcal{L}$ **do**

$f \leftarrow$ neue Facette zu (e, p) in C ; $v_f \leftarrow$ neuer Knoten für f in G

$(f_1, f_2) \leftarrow$ Facetten vorher inzident zu e in C

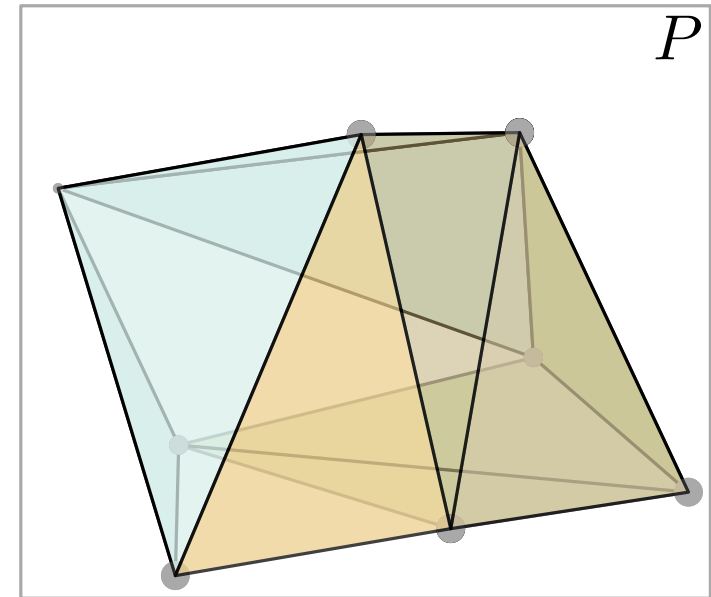
$P(e) \leftarrow P_{\text{conflict}}(f_1) \cup P_{\text{conflict}}(f_2)$

foreach $p \in P(e)$ **do**

if f sichtbar von p **then** füge Kante (p, f) zu G hinzu

lösche $\{p\} \cup F_{\text{conflict}}(p)$ aus G

return C



Laufzeit?

Randomisierte Analyse

Laufzeit hängt insbesondere von # erzeugter Facetten ab

Laufzeit hängt insbesondere von # erzeugter Facetten ab

Lemma 1: Erwartete Anzahl erzeugter Facetten $\leq 6n - 20$.

Laufzeit hängt insbesondere von # erzeugter Facetten ab

Lemma 1: Erwartete Anzahl erzeugter Facetten $\leq 6n - 20$.

Beweis: \rightarrow Rückwärtsanalyse

Laufzeit hängt insbesondere von $\#$ erzeugter Facetten ab

Lemma 1: Erwartete Anzahl erzeugter Facetten $\leq 6n - 20$.

Beweis: \rightarrow Rückwärtsanalyse

Satz 2: Die konvexe Hülle einer Menge von n Punkten in \mathbb{R}^3 kann in erwarteter $O(n \log n)$ Zeit berechnet werden.

Laufzeit hängt insbesondere von $\#$ erzeugter Facetten ab

Lemma 1: Erwartete Anzahl erzeugter Facetten $\leq 6n - 20$.

Beweis: \rightarrow Rückwärtsanalyse

Satz 2: Die konvexe Hülle einer Menge von n Punkten in \mathbb{R}^3 kann in erwarteter $O(n \log n)$ Zeit berechnet werden.

Beweis:

```
 $P' \leftarrow \{p_1, p_2, p_3, p_4\} \subseteq P$  (nicht koplan.)  
 $C \leftarrow \text{CH}(P')$ ; initialisiere Konfliktgraph  $G$   
foreach  $p \in P \setminus P'$  in Zufallsreihenfolge do  
  if  $F_{\text{conflict}}(p) \neq \emptyset$  then  
    lösche alle Facetten  $F_{\text{conflict}}(p)$  aus  $C$   
     $\mathcal{L} \leftarrow$  Horizont-Kanten von  $p$   
    foreach  $e \in \mathcal{L}$  do  
       $f \leftarrow$  neue Facette zu  $(e, p)$  in  $C$ ;  $v_f \leftarrow$  neuer Knoten für  $f$  in  $G$   
       $(f_1, f_2) \leftarrow$  Facetten vorher inzident zu  $e$  in  $C$   
       $P(e) \leftarrow P_{\text{conflict}}(f_1) \cup P_{\text{conflict}}(f_2)$   
      foreach  $p \in P(e)$  do  
        if  $f$  sichtbar von  $p$  then füge Kante  $(p, f)$  zu  $G$  hinzu  
    lösche  $\{p\} \cup F_{\text{conflict}}(p)$  aus  $G$   
return  $C$ 
```

Laufzeit hängt insbesondere von $\#$ erzeugter Facetten ab

Lemma 1: Erwartete Anzahl erzeugter Facetten $\leq 6n - 20$.

Beweis: \rightarrow Rückwärtsanalyse

Satz 2: Die konvexe Hülle einer Menge von n Punkten in \mathbb{R}^3 kann in erwarteter $O(n \log n)$ Zeit berechnet werden.

Beweis:

```
 $P' \leftarrow \{p_1, p_2, p_3, p_4\} \subseteq P$  (nicht koplan.)
```

```
 $C \leftarrow \text{CH}(P')$ ; initialisiere Konfliktgraph  $G$ 
```

```
foreach  $p \in P \setminus P'$  in Zufallsreihenfolge do
```

```
  if  $F_{\text{conflict}}(p) \neq \emptyset$  then
```

```
    lösche alle Facetten  $F_{\text{conflict}}(p)$  aus  $C$ 
```

```
     $\mathcal{L} \leftarrow$  Horizont-Kanten von  $p$ 
```

```
    foreach  $e \in \mathcal{L}$  do
```

```
       $f \leftarrow$  neue Facette zu  $(e, p)$  in  $C$ ;  $v_f \leftarrow$  neuer Knoten für  $f$  in  $G$ 
```

```
       $(f_1, f_2) \leftarrow$  Facetten vorher inzident zu  $e$  in  $C$ 
```

```
       $P(e) \leftarrow P_{\text{conflict}}(f_1) \cup P_{\text{conflict}}(f_2)$ 
```

```
      foreach  $p \in P(e)$  do
```

```
        if  $f$  sichtbar von  $p$  then füge Kante  $(p, f)$  zu  $G$  hinzu
```

```
    lösche  $\{p\} \cup F_{\text{conflict}}(p)$  aus  $G$ 
```

```
return  $C$ 
```

Laufzeit hängt insbesondere von $\#$ erzeugter Facetten ab

Lemma 1: Erwartete Anzahl erzeugter Facetten $\leq 6n - 20$.

Beweis: \rightarrow Rückwärtsanalyse

Satz 2: Die konvexe Hülle einer Menge von n Punkten in \mathbb{R}^3 kann in erwarteter $O(n \log n)$ Zeit berechnet werden.

Beweis:

$O(n)$

$P' \leftarrow \{p_1, p_2, p_3, p_4\} \subseteq P$ (nicht koplan.)
 $C \leftarrow \text{CH}(P')$; initialisiere Konfliktgraph G

foreach $p \in P \setminus P'$ in Zufallsreihenfolge **do**

if $F_{\text{conflict}}(p) \neq \emptyset$ **then**

 lösche alle Facetten $F_{\text{conflict}}(p)$ aus C

$\mathcal{L} \leftarrow$ Horizont-Kanten von p

foreach $e \in \mathcal{L}$ **do**

$f \leftarrow$ neue Facette zu (e, p) in C ; $v_f \leftarrow$ neuer Knoten für f in G

$(f_1, f_2) \leftarrow$ Facetten vorher inzident zu e in C

$P(e) \leftarrow P_{\text{conflict}}(f_1) \cup P_{\text{conflict}}(f_2)$

foreach $p \in P(e)$ **do**

if f sichtbar von p **then** füge Kante (p, f) zu G hinzu

 lösche $\{p\} \cup F_{\text{conflict}}(p)$ aus G

return C

Laufzeit hängt insbesondere von $\#$ erzeugter Facetten ab

Lemma 1: Erwartete Anzahl erzeugter Facetten $\leq 6n - 20$.

Beweis: \rightarrow Rückwärtsanalyse

Satz 2: Die konvexe Hülle einer Menge von n Punkten in \mathbb{R}^3 kann in erwarteter $O(n \log n)$ Zeit berechnet werden.

Beweis:

```
 $O(n)$   $P' \leftarrow \{p_1, p_2, p_3, p_4\} \subseteq P$  (nicht koplan.)  
 $C \leftarrow \text{CH}(P')$ ; initialisiere Konfliktgraph  $G$   
foreach  $p \in P \setminus P'$  in Zufallsreihenfolge do  
  if  $F_{\text{conflict}}(p) \neq \emptyset$  then  
    lösche alle Facetten  $F_{\text{conflict}}(p)$  aus  $C$   
     $\mathcal{L} \leftarrow$  Horizont-Kanten von  $p$   
    foreach  $e \in \mathcal{L}$  do  
       $f \leftarrow$  neue Facette zu  $(e, p)$  in  $C$ ;  $v_f \leftarrow$  neuer Knoten für  $f$  in  $G$   
       $(f_1, f_2) \leftarrow$  Facetten vorher inzident zu  $e$  in  $C$   
       $P(e) \leftarrow P_{\text{conflict}}(f_1) \cup P_{\text{conflict}}(f_2)$   
      foreach  $p \in P(e)$  do  
        if  $f$  sichtbar von  $p$  then füge Kante  $(p, f)$  zu  $G$  hinzu  
    lösche  $\{p\} \cup F_{\text{conflict}}(p)$  aus  $G$   
return  $C$ 
```

(Lemma 1) $O(n)$

Laufzeit hängt insbesondere von $\#$ erzeugter Facetten ab

Lemma 1: Erwartete Anzahl erzeugter Facetten $\leq 6n - 20$.

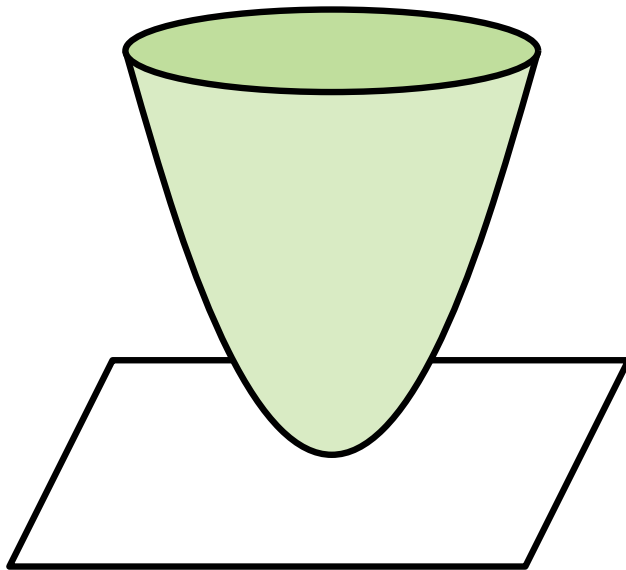
Beweis: \rightarrow Rückwärtsanalyse

Satz 2: Die konvexe Hülle einer Menge von n Punkten in \mathbb{R}^3 kann in erwarteter $O(n \log n)$ Zeit berechnet werden.

Beweis:

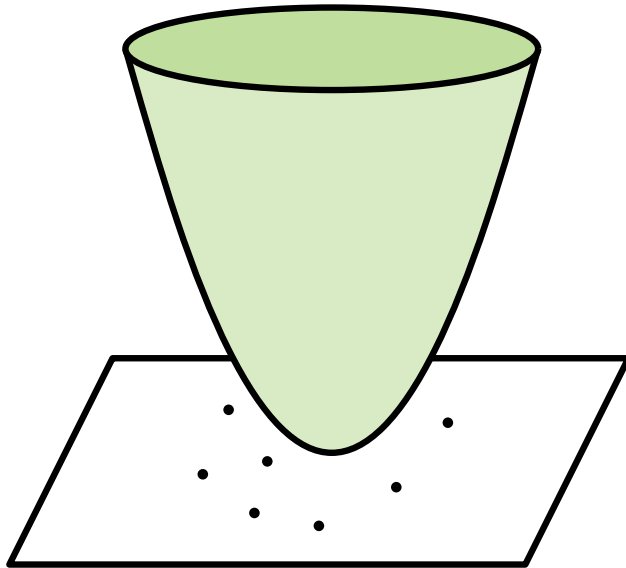
	$O(n)$	$P' \leftarrow \{p_1, p_2, p_3, p_4\} \subseteq P$ (nicht koplan.) $C \leftarrow \text{CH}(P')$; initialisiere Konfliktgraph G
		foreach $p \in P \setminus P'$ in Zufallsreihenfolge do
(Lemma 1)	$O(n)$	if $F_{\text{conflict}}(p) \neq \emptyset$ then lösche alle Facetten $F_{\text{conflict}}(p)$ aus C $\mathcal{L} \leftarrow$ Horizont-Kanten von p foreach $e \in \mathcal{L}$ do
		$f \leftarrow$ neue Facette zu (e, p) in C ; $v_f \leftarrow$ neuer Knoten für f in G $(f_1, f_2) \leftarrow$ Facetten vorher inzident zu e in C $P(e) \leftarrow P_{\text{conflict}}(f_1) \cup P_{\text{conflict}}(f_2)$ foreach $p \in P(e)$ do
([BCKO09] Kap. 9.5, 11.3)	$O(n \log n)$	if f sichtbar von p then füge Kante (p, f) zu G hinzu
		lösche $\{p\} \cup F_{\text{conflict}}(p)$ aus G
		return C

Konvexe Hülle & Delaunay Triangulierung



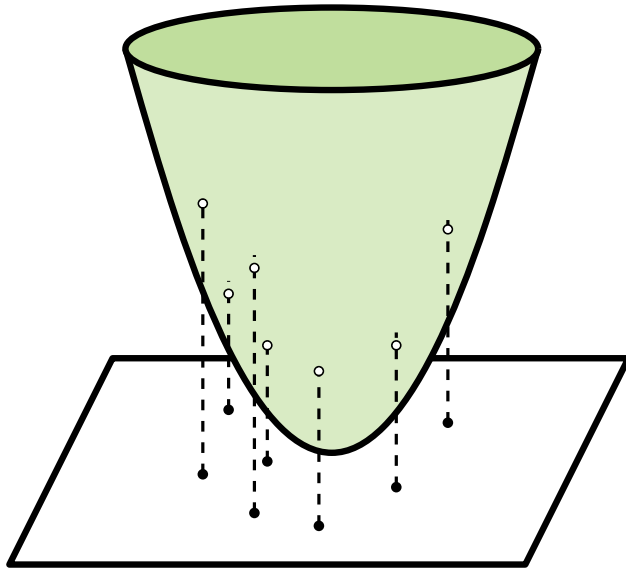
Es gibt einen erstaunlichen Bezug zw.
2D Delaunay Triangulierung und
(unterer) 3D konvexer Hülle
über den Paraboloid $B: z = x^2 + y^2$:

Konvexe Hülle & Delaunay Triangulierung



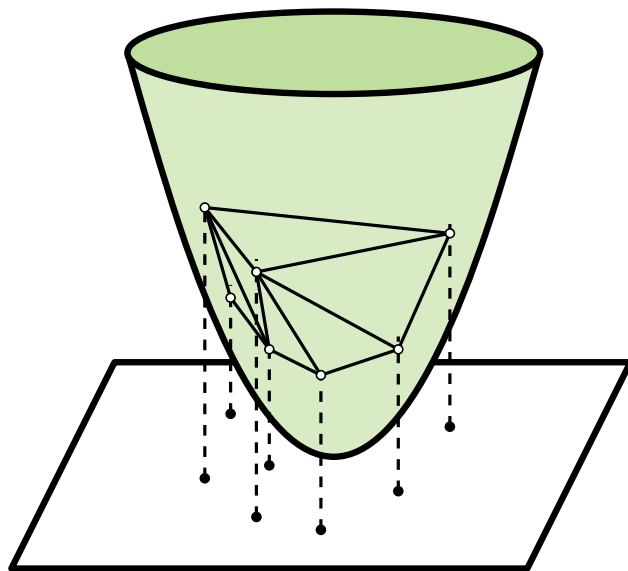
Es gibt einen erstaunlichen Bezug zw.
2D Delaunay Triangulierung und
(unterer) 3D konvexer Hülle
über den Paraboloid $B: z = x^2 + y^2$:

Konvexe Hülle & Delaunay Triangulierung



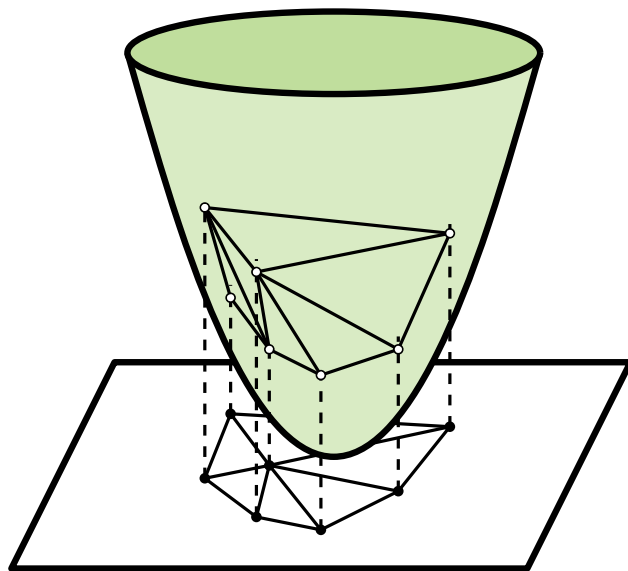
Es gibt einen erstaunlichen Bezug zw.
2D Delaunay Triangulierung und
(unterer) 3D konvexer Hülle
über den Paraboloid $B: z = x^2 + y^2$:

Konvexe Hülle & Delaunay Triangulierung

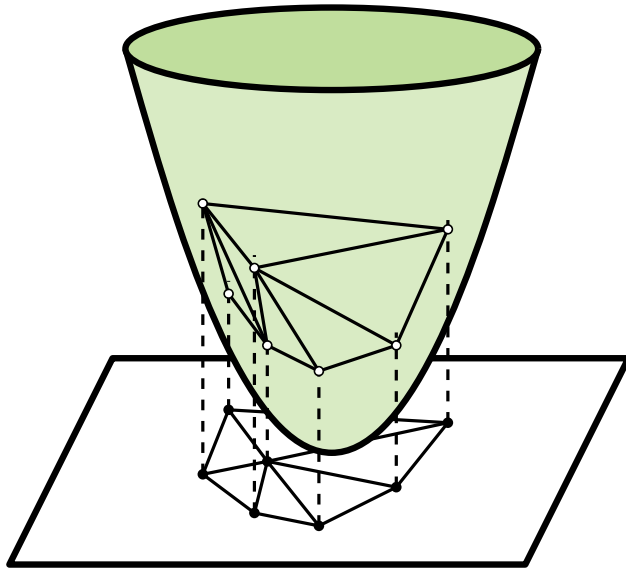


Es gibt einen erstaunlichen Bezug zw.
2D Delaunay Triangulierung und
(unterer) 3D konvexer Hülle
über den Paraboloid $B: z = x^2 + y^2$:

Konvexe Hülle & Delaunay Triangulierung

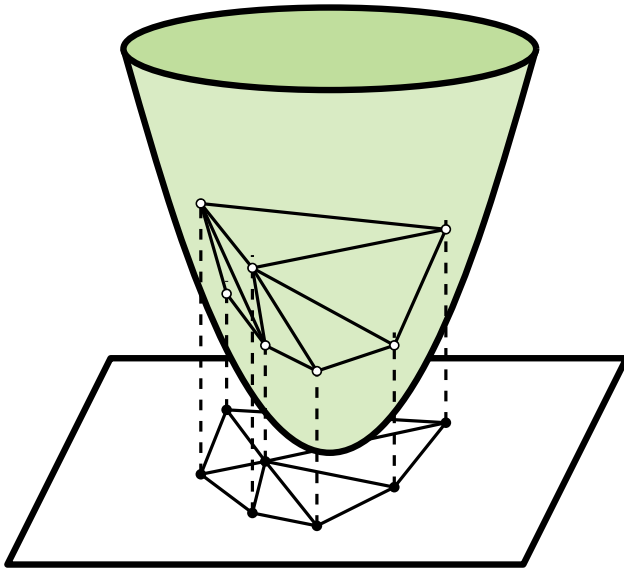


Es gibt einen erstaunlichen Bezug zw.
2D Delaunay Triangulierung und
(unterer) 3D konvexer Hülle
über den Paraboloid $B: z = x^2 + y^2$:



Es gibt einen erstaunlichen Bezug zw.
2D Delaunay Triangulierung und
(unterer) 3D konvexer Hülle
über den Paraboloid $B: z = x^2 + y^2$:

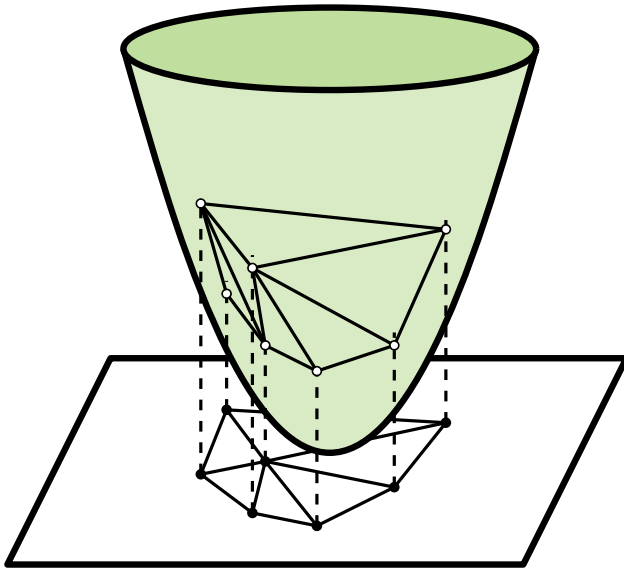
- projiziere P auf $B \rightarrow$ Punktmenge P'
- berechne $CH(P')$
- projiziere unteren Teil von $CH(P')$ zurück
- liefert Delaunay Triangulierung von P



Es gibt einen erstaunlichen Bezug zw.
2D Delaunay Triangulierung und
(unterer) 3D konvexer Hülle
über den Paraboloid $B: z = x^2 + y^2$:

- projiziere P auf $B \rightarrow$ Punktmenge P'
- berechne $CH(P')$
- projiziere unteren Teil von $CH(P')$ zurück
- liefert Delaunay Triangulierung von P

Delaunay-Bedingung: Punkte p, q, r bilden Dreieck
 \Leftrightarrow Umkreis $C(p, q, r)$ ist leer

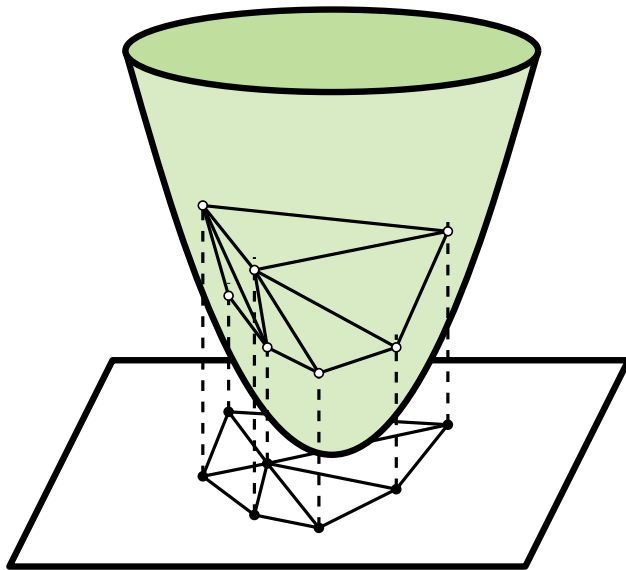


Es gibt einen erstaunlichen Bezug zw.
2D Delaunay Triangulierung und
(unterer) 3D konvexer Hülle
über den Paraboloid $B: z = x^2 + y^2$:

- projiziere P auf $B \rightarrow$ Punktmenge P'
- berechne $CH(P')$
- projiziere unteren Teil von $CH(P')$ zurück
- liefert Delaunay Triangulierung von P

Delaunay-Bedingung: Punkte p, q, r bilden Dreieck
 \Leftrightarrow Umkreis $C(p, q, r)$ ist leer

CH-Bedingung: Punkte p', q', r' bilden Facette
 $\Leftrightarrow P'$ auf einer Seite der Ebene $h(p', q', r')$



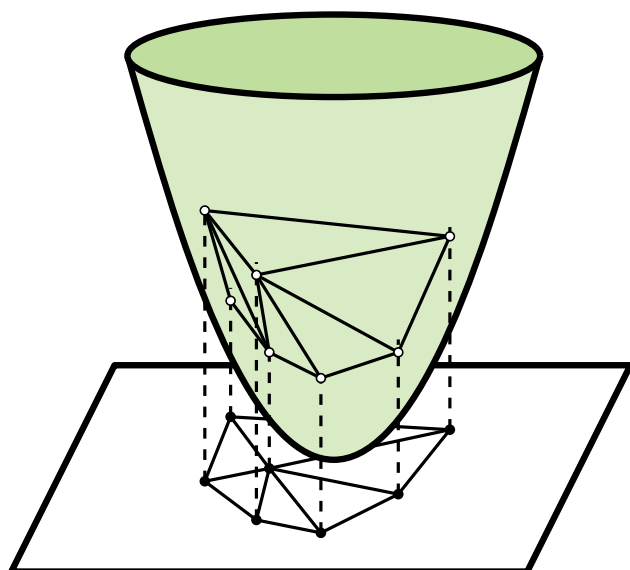
Es gibt einen erstaunlichen Bezug zw.
2D Delaunay Triangulierung und
(unterer) 3D konvexer Hülle
über den Paraboloid $B: z = x^2 + y^2$:

- projiziere P auf $B \rightarrow$ Punktmenge P'
- berechne $CH(P')$
- projiziere unteren Teil von $CH(P')$ zurück
- liefert Delaunay Triangulierung von P

Delaunay-Bedingung: Punkte p, q, r bilden Dreieck
 \Leftrightarrow Umkreis $C(p, q, r)$ ist leer

CH-Bedingung: Punkte p', q', r' bilden Facette
 $\Leftrightarrow P'$ auf einer Seite der Ebene $h(p', q', r')$

Lemma 2: Für vier Punkte $p, q, r, s \in \mathbb{R}^2$ und ihre Projektionen
 p', q', r', s' auf B gilt: s liegt im Umkreis $C(p, q, r)$
 $\Leftrightarrow s'$ liegt unterhalb Ebene $h(p', q', r')$



Satz 3: Für eine Punktmenge $P \subseteq \mathbb{R}^2$ in allg. Lage und $p, q, r \in P$ ist Dreieck Δpqr Delaunay-Dreieck gdw. $\Delta p'q'r'$ Facette der unteren konvexen Hülle von P' .

Delaunay-Bedingung: Punkte p, q, r bilden Dreieck
 \Leftrightarrow Umkreis $C(p, q, r)$ ist leer

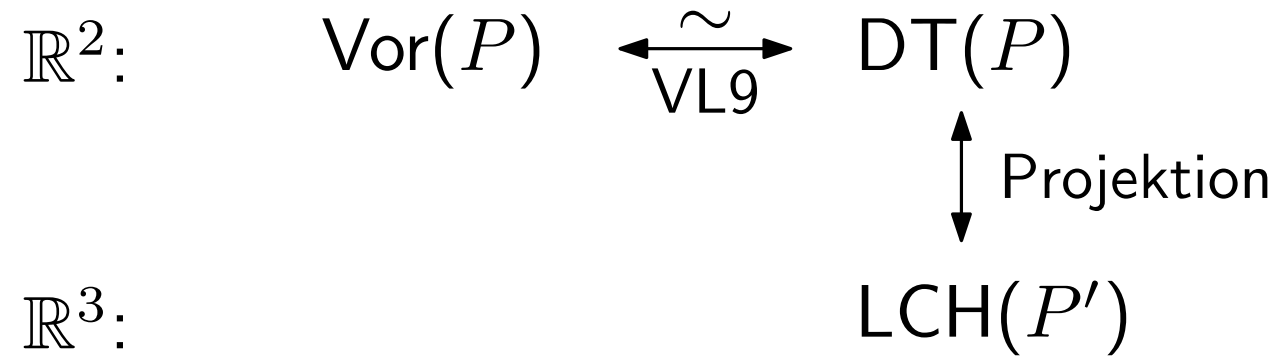
CH-Bedingung: Punkte p', q', r' bilden Facette
 $\Leftrightarrow P'$ auf einer Seite der Ebene $h(p', q', r')$

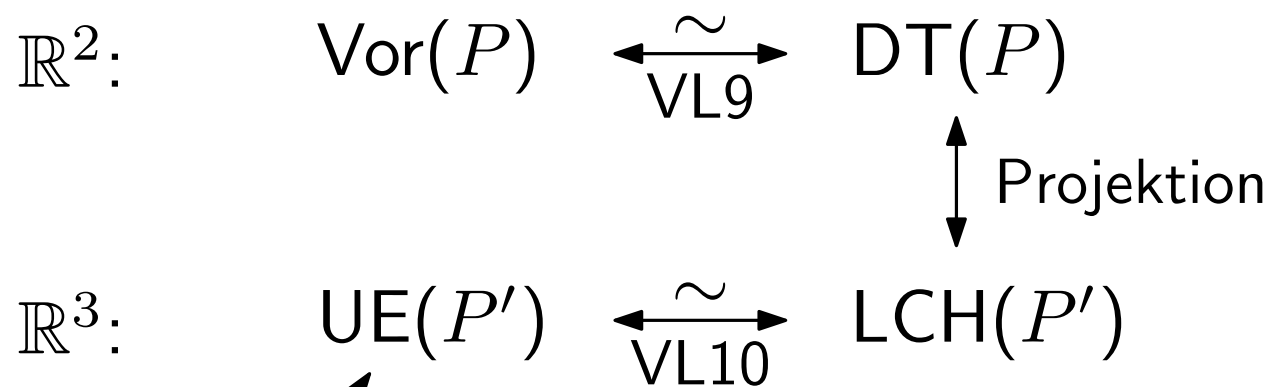
Lemma 2: Für vier Punkte $p, q, r, s \in \mathbb{R}^2$ und ihre Projektionen p', q', r', s' auf B gilt: s liegt im Umkreis $C(p, q, r)$
 $\Leftrightarrow s'$ liegt unterhalb Ebene $h(p', q', r')$

Noch mehr Dualität

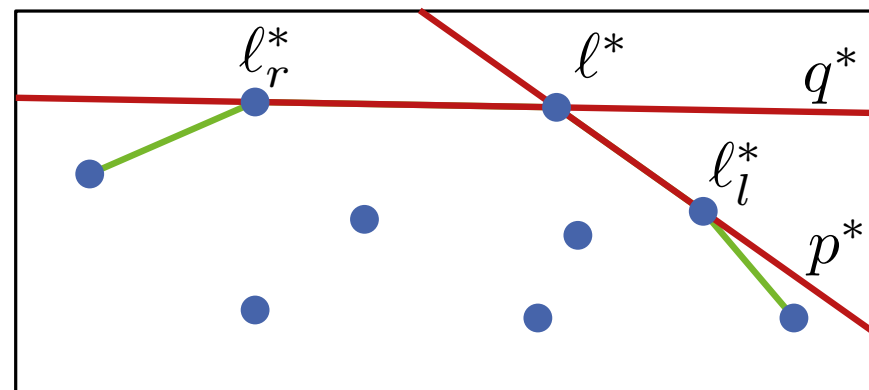
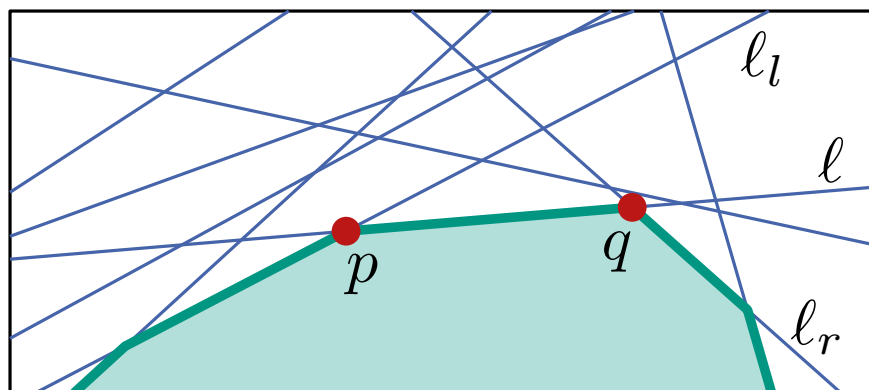
$$\mathbb{R}^2: \quad \text{Vor}(P) \xleftrightarrow[\text{VL9}]{\sim} \text{DT}(P)$$

Noch mehr Dualität





upper envelope \nearrow (gilt auch in \mathbb{R}^3)
 \rightarrow Übung



$$\begin{array}{ccc} \mathbb{R}^2: & \text{Vor}(P) & \xleftrightarrow[\text{VL9}]{\sim} \text{DT}(P) \\ & ? & \updownarrow \text{Projektion} \\ \mathbb{R}^3: & \text{UE}(P') & \xleftrightarrow[\text{VL10}]{\sim} \text{LCH}(P') \end{array}$$

(gilt auch in \mathbb{R}^3)

→ Übung

$$\begin{array}{ccc} \mathbb{R}^2: & \text{Vor}(P) & \xleftrightarrow[\text{VL9}]{\sim} \text{DT}(P) \\ & ? & \updownarrow \text{Projektion} \\ \mathbb{R}^3: & \text{UE}(P') & \xleftrightarrow[\text{VL10}]{\sim} \text{LCH}(P') \end{array}$$

(gilt auch in \mathbb{R}^3)
→ Übung

Satz 4: Für eine Punktmenge $P \subseteq \mathbb{R}^2$ sei $H(P')$ die Menge der Tangentialebenen des Paraboloids B an den projizierten Punkten P' . Dann ist die Projektion von $\text{UE}(H(P'))$ gerade $\text{Vor}(P)$.

$$\begin{array}{ccc} \mathbb{R}^2: & \text{Vor}(P) & \xleftrightarrow[\text{VL9}]{\sim} \text{DT}(P) \\ & \updownarrow \text{Projektion} & \updownarrow \text{Projektion} \\ \mathbb{R}^3: & \text{UE}(P') & \xleftrightarrow[\text{VL10}]{\sim} \text{LCH}(P') \end{array}$$

(gilt auch in \mathbb{R}^3)
→ Übung

Satz 4: Für eine Punktmenge $P \subseteq \mathbb{R}^2$ sei $H(P')$ die Menge der Tangentialebenen des Paraboloids B an den projizierten Punkten P' . Dann ist die Projektion von $\text{UE}(H(P'))$ gerade $\text{Vor}(P)$.

Optimale Laufzeit?

Optimale Laufzeit?

Divide-and-Conquer Algorithmus mit Laufzeit $O(n \log n)$ oder
gift-wrapping mit Laufzeit $O(n \cdot h)$ ($h = \#$ Facetten der konvexen Hülle)

Optimale Laufzeit?

Divide-and-Conquer Algorithmus mit Laufzeit $O(n \log n)$ oder
gift-wrapping mit Laufzeit $O(n \cdot h)$ ($h = \#$ Facetten der konvexen Hülle)

Was ist mit Dimensionen > 3 ?

Optimale Laufzeit?

Divide-and-Conquer Algorithmus mit Laufzeit $O(n \log n)$ oder gift-wrapping mit Laufzeit $O(n \cdot h)$ ($h = \#$ Facetten der konvexen Hülle)

Was ist mit Dimensionen > 3 ?

Upper Bound Theorem: Komplexität der konvexen Hülle einer Punktmenge bestehend aus n Punkten in \mathbb{R}^d ist $\Theta(n^{\lfloor d/2 \rfloor})$ ist. Der hier vorgestellte inkrementelle Algorithmus kann für höhere Dimensionen angepasst werden.

Der beste Ausgabe-sensitive Algorithmus für die Berechnung konvexer Hüllen in \mathbb{R}^d hat eine Laufzeit von:

$$O(n \log h + (nh)^{1-1/(\lfloor d/2 \rfloor + 1)} \log^{O(1)} n)$$

Prüfungstermine:

- 6. August ab 9:00 Uhr
- 8. Oktober ab 9:00 Uhr
- bei Bedarf noch weiterer Termin im WS 2014/15

Anmeldung per Mail an lilian.beckert@kit.edu

Prüfungstermine:

- 6. August ab 9:00 Uhr
- 8. Oktober ab 9:00 Uhr
- bei Bedarf noch weiterer Termin im WS 2014/15

Anmeldung per Mail an lilian.beckert@kit.edu

Projektnoten:

- bitte beim Betreuer erfragen

Informationen zur Prüfung – Inhalt

- grundlegende Problemdefinitionen

Informationen zur Prüfung – Inhalt

- grundlegende Problemdefinitionen
- Aufbau und Queries von Datenstrukturen

Informationen zur Prüfung – Inhalt

- grundlegende Problemdefinitionen
- Aufbau und Queries von Datenstrukturen
- Zusammenhänge zwischen verschiedenen Datenstrukturen

Informationen zur Prüfung – Inhalt

- grundlegende Problemdefinitionen
- Aufbau und Queries von Datenstrukturen
- Zusammenhänge zwischen verschiedenen Datenstrukturen
- Eigenschaften und Ablauf der Algorithmen

Informationen zur Prüfung – Inhalt

- grundlegende Problemdefinitionen
- Aufbau und Queries von Datenstrukturen
- Zusammenhänge zwischen verschiedenen Datenstrukturen
- Eigenschaften und Ablauf der Algorithmen
- zentrale Beweisideen

- grundlegende Problemdefinitionen
- Aufbau und Queries von Datenstrukturen
- Zusammenhänge zwischen verschiedenen Datenstrukturen
- Eigenschaften und Ablauf der Algorithmen
- zentrale Beweisideen
- Einsatz der Algorithmen und Datenstrukturen in Anwendungen

- grundlegende Problemdefinitionen
- Aufbau und Queries von Datenstrukturen
- Zusammenhänge zwischen verschiedenen Datenstrukturen
- Eigenschaften und Ablauf der Algorithmen
- zentrale Beweisideen
- Einsatz der Algorithmen und Datenstrukturen in Anwendungen
- bei 5LP: Stoff der Übungen

- grundlegende Problemdefinitionen
- Aufbau und Queries von Datenstrukturen
- Zusammenhänge zwischen verschiedenen Datenstrukturen
- Eigenschaften und Ablauf der Algorithmen
- zentrale Beweisideen
- Einsatz der Algorithmen und Datenstrukturen in Anwendungen
- bei 5LP: Stoff der Übungen

Wie vorbereiten?

- Vorlesungsfolien **und** Tafelbeweise aus angegebener Literatur (v.a. [BCKO08] und Skript [M12])
- Übungsaufgaben
- nur *ergänzend*: weiteres Material aus der Literatur

- grundlegende Problemdefinitionen
- Aufbau und Queries von Datenstrukturen
- Zusammenhänge zwischen verschiedenen Datenstrukturen
- Eigenschaften und Ablauf der Algorithmen
- zentrale
- Einsatz
- Anwend
- bei 5LP: Stoff der Übungen

Weitere Fragen?

Wie vorbereiten?

- Vorlesungsfolien **und** Tafelbeweise aus angegebener Literatur (v.a. [BCKO08] und Skript [M12])
- Übungsaufgaben
- nur *ergänzend*: weiteres Material aus der Literatur

- Bei Interesse an einer Masterarbeit einfach melden. Wir haben regelmäßig spannende theoretische und praktische Themen aus unseren Forschungsbereichen.
- Vorlesung *Algorithmen zur Visualisierung von Graphen*
- Vorlesung *Algorithmische Graphentheorie*
- Seminar *Algorithmentechnik*
- Praktikum *Routenplanung*

weitere Infos demnächst unter www.itl.kit.edu

- Bei Interesse an einer Masterarbeit einfach melden. Wir haben regelmäßig spannende theoretische und praktische Themen aus unseren Forschungsbereichen.
- Vorlesung *Algorithmen zur Visualisierung von Graphen*
- Vorlesung *Algorithmische Graphentheorie*
- Seminar *Algorithmentechnik*
- Praktikum *Routenplanung*

weitere Infos demnächst unter www.itl.kit.edu

Viel Erfolg für die Prüfung!